



MICROFICHE N°

00806

République Tunisienne

MINISTÈRE DE L'AGRICULTURE

CENTRE NATIONAL DE

DOCUMENTATION AGRICOLE

TUNIS

الجمهورية التونسية
وزارة الفلاحة

المركز الوطني
لتسويق الغلال

تونس

F

1

DIVISION
DES RESSOURCES EN EAU

Q19A 00806
hydrologie

UNIVERSITE DE MONTREAL
DEPARTEMENT D'HYDROLOGIE
15 MAI 1981

etude hydrologique
de l'oued rarai



REPUBLIC OF TUNISIA
MINISTRY OF AGRICULTURE
Division des Ressources
du Sol et du Sol
Division des Ressources du Sol
Service Hydrologique

STUDY OF HYDROLOGICAL
CHARACTERISTICS

ETUDE HYDROLOGIQUE
DU DÔME KARAI

...-10-...

LEADER NAME

Mr. S. M. H. M.
Ingénieur Principal DRA-ST

avec la collaboration technique
de tout le personnel des équi-
ipes hydrologiques de Gharbiyya,
et de Tunis et particulièrement
de DAFELI, D. MELLALI, CHIBANI
et BEN REJABE.-

- OUED BARAI -
(Affluent de la Majordah)

- / -

SOMMAIRE :

1.- Situation générale de l'Oued Béral

2.- Déposition de sédiments

2.1. Déposition de jaugeages

2.2. Déposition de mesure de la pluviométrie

3.- Morphologie du bassin du Béral supérieur

3.1. Généralités

3.2. Caractéristiques de forme

3.3. Relief

3.4. Réseau hydrographique

4.- Historique du Béral supérieur

5.- Morphologie du bassin du Béral plaine

5.1. Généralités

5.2. Caractéristiques de forme

5.3. Relief

5.4. Réseau hydrographique

6.- Historique du Béral plaine

7.- Limnastrie du Béral plaine

7.1. Du Sept. 1969 à Juin 1971

7.2. de Juil. 1973 à Août 1973

8.- Les jaugeages à Béral plaine

8.1. Jaugeages d'étéage

8.2. Jaugeages de crue

9.- Étalonnage de la station

9.1. Courbe d'étalement basée eaux

9.2. Courbes d'étalement basées sables

9.3. Extrapolation

.../...

10.- Etude des données hydrologiques

10.1. Critique des données obtenues

10.2. Séparation des apports de crues

10.3. Etude des découlements

10.3.1. Assèchement sur le bassin

10.3.2. Occurrence des crues

10.3.3. Les débits de crues

10.3.4. Les apports de crues

10.4. Les débits du bassin

10.5. Résumé

11.- Salinités - transports solides

12.- Tableaux des données publiées

1.- Situation générale de l'Oued Ksarai

L'Oued Ksarai a une longueur totale de 37 Km. Il draine une superficie de 364 Km² dont 37,5 Km² se trouvent en Algérie.

Le bassin versant de l'Oued Ksarai est situé dans le Nord-Ouest Tunisien entre :

- les parallèles : 40° et 41° de latitude Nord
- et les méridiens : 6° et 7° de longitude Ouest

Il est entouré par des chaînes montagneuses; où se forment les cours d'eau dominent une plaine reliant l'Oued Ksarai à la Mégardah.

Parmi les points culminants du bassin on cite :

- Dj. Mabzar (901 m) - Dj. Barra (1202 m) - Kef Kessoua (1029 m) -
- Kef es-Dubbet (963 m) - Kef et Debbaa (956 m) - Dj. Hammam (857 m)
- Dj. de el Hassour (844 m).

- Bassins limitrophes

Les bassins limitrophes du Ksarai sont d'amont en aval :

en rive gauche : les bassins de l'O. Kébir, et de l'O. Bougoum dans le territoire Algérien, Rhazala et Melah dans le territoire tunisien (deux affluents de la Mégardah).

en rive droite : le bassin de la Mégardah.

- Affluents du Ksarai

Les principaux affluents du Ksarai sont de l'amont à l'aval : Hadjar, Dousour, Hammam, Enja et Ichchbar, tous ces affluents se trouvent en rive gauche du Ksarai.

2.- DISPOSITIF DE MESURE

2.1- DISPOSITIF DE MESURE

Dans le bassin du Baraf, on trouve deux stations principales en liaison
entre elles par un cours d'eau principal et quelques petits de ruisseaux sur le
quel s'écoule et sur ses principaux affluents.

- Liste des points de mesure

- Roudjar	N 125
- Gourat	N 52
- Souje	N 53
- Hassoun	N 53
- Baraf Inf.	N 144

- Stations principales

1- Baraf Supérieur N 44 :

- Latitude : $40^{\circ} 51' 10''$ Nord
- Longitude : $6^{\circ} 08' 30''$ Ouest
- Altitude : 230 m

C'est la station la plus au sud du Baraf.

Elle comprend : un sténographe OTT I

une batterie d'accumulateur de 2 à 6 v.

A défaut de dispositif de jaugeage (troué, pont...) les jaugeages
de crues ne sont pas faits.

Les mesures de hâteau d'étiage sont faites à pied à l'aide d'un micromoulino.

2- Baraf plaine N 733

- Latitude : $40^{\circ} 54' 20''$ Nord
- Longitude : $6^{\circ} 08' 50''$ Ouest
- Altitude : 175 m

C'est la station la plus au sud du Baraf. Elle se trouve à trois
km de la confluence avec la Majerdah.

Elle comprend :

- un sténographe OTT I
- une batterie d'accumulateur de 1500 à 2500
- un téléphérique pour jaugeage de crues
- un micromoulino pour les jaugeages d'étiage.

2.2. Dispositif de mesure du pluviométrie

La densité de pluviomètres dans le bassin est très faible. En effet dans une superficie de plus de 550 km² on ne trouve que deux pluviomètres et ils sont très éloignés l'un par rapport à l'autre (les deux sont tous à fait en amont du bassin) ; et la distance qui les sépare est à peu près de 5 km.

Le premier pluviomètre est en réalité un pluviographie appartenant au Service Hydrologique. Il se trouve à Si Faidja dans une zone montagneuse,

Le deuxième appartient au Service Hydrologique et se trouve à Sfax Gaboura un peu plus au Sud et en aval du premier. Les relevés pluviométriques de ce deuxième pluviomètre sont assez irréguliers.

3.- Morphologie du bassin du Rarai supérieur

3.1. Généralités

C'est un petit bassin de 92 km^2 , son émissaire, qui est la station hydrographique du Rarai Supérieur, est un point de contrôle de tout ce qui vient de l'amont.

Le nombre de cours d'eau est de 1022 dont 751 ne recevant aucun affluent. Ce qui montre le caractère montagneux et à la fois le relief fort de ce bassin.

L'étude morphologique du Rarai et la détermination des constantes ont comme sources, les cartes au 50.000 de Mautier (23), Fornana (24), Lamy (30), et Chardinaou (31).

3.2. Caractéristiques de forme

- périmètre du bassin	$P = 49 \text{ Km}$
- surface " "	$A = 92 \text{ km}^2$
- rectangle équivalent	
longeur	$L = 20 \text{ Km}$
largeur	$l = 4,6 \text{ Km}$
- Indice de compacité	$Ko = \frac{P}{2\sqrt{A}} = 1,430$

3.3. Relief

3.3.1. Hypsométrie

Les courbes de niveau caractéristiques ont été tracées et les surfaces ainsi obtenues ont été planimétrées. Les données qui se trouvent dans le tableau ci-dessous nous ont permis de tracer la courbe hypsométrique.

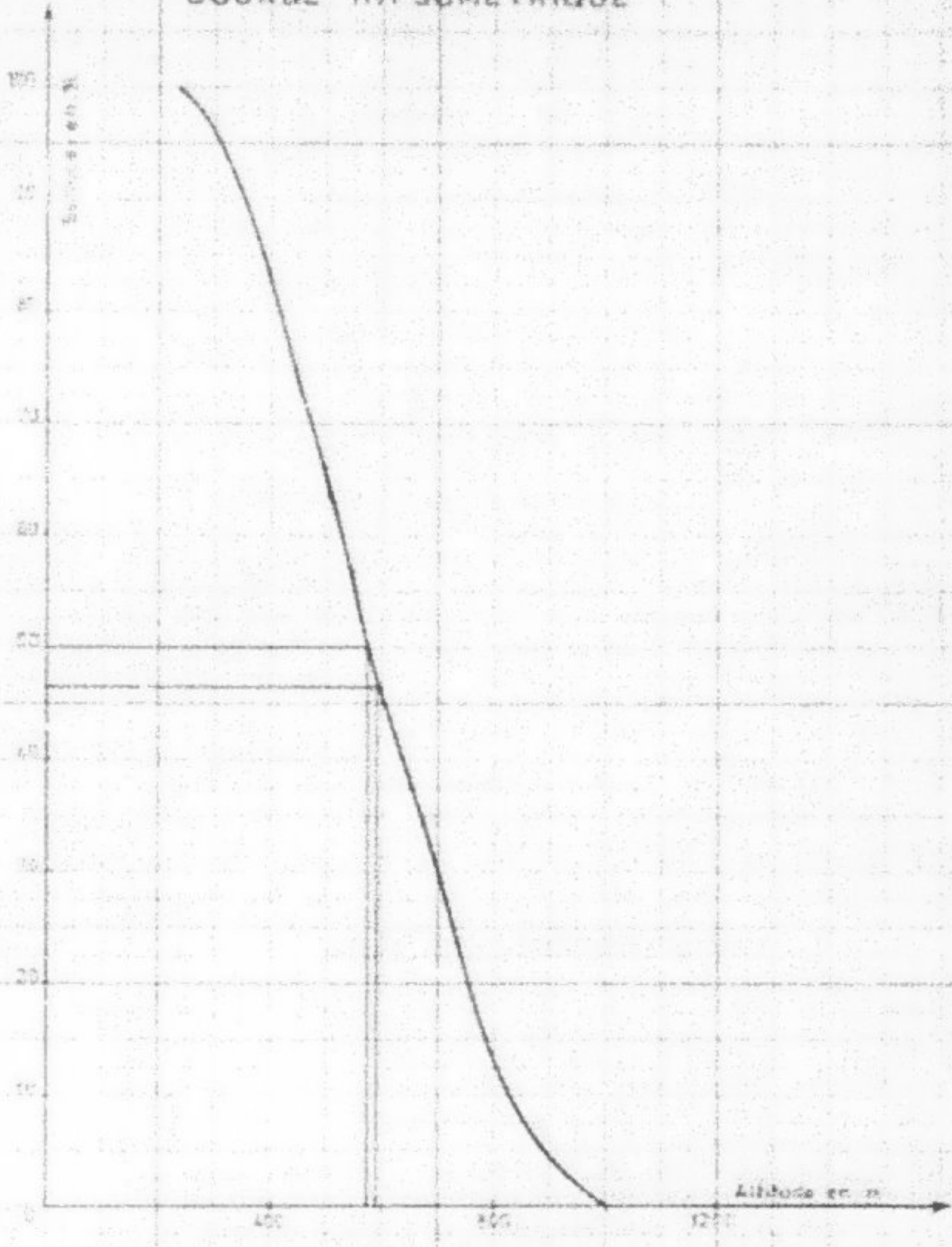
Tableau des données hypsométriques

Altitude	1013	1000	900	800	700	600	500	400	300	230
Surface en km^2	0	0,4	4,1	13,4	41,9	59,6	76,2	88,6	92	
Surface en %	0	0,43	4,5	14,6	45,7	64,9	83,1	96,6	100	

Pourcentage de la surface totale comprise entre les différentes courbes de niveau

Altitude en m	%
300 à 400	13,5
400 à 500	18,2
500 à 600	19,2
600 à 800	31,1
800 à 900	10,1
900 à 1000	4,1

RARAI SUPERIEUR
COURSE HYPSOMETRIQUE



HEURE 1917	TACHE EQUVALENT						
	200	400	600	800	1000	1200	1400

75°

3.3.3. Flotage

- Longueur moyenne $\bar{L}_m = 370$ m
- " " médiane $\bar{L}_m = 300$ m
- " " maximale $\bar{L}_m = 1075$ m
- " " minimale $\bar{L}_m = 40$ m
- Indice de pente globale $I_g = \frac{\Delta L}{\Delta x} = 37 \text{ m/km}$

C = distance totale du bassin = 23 + 293

Δx = élévation moyenne des 5% de superficie les plus élevées
 Δx = élévation des 5% de superficie du bassin les plus basses

C = longueur du ruisseau équivalent

- Indice de pente du Ruisseau $I_p = 0,19$ 1/2

$$I_p = C = \frac{1}{2} \cdot \frac{2}{3} \cdot \frac{1}{2} \cdot (n_1 - n_2 - 1)$$

n_1 = Proportion de la surface totale du bassin comprise entre les deux élévations

- Distances équivalentes $D_n = 354$ m

$$D_n = I_g = L^{1/2}$$

$$D_{n_1} \cdot D_{n_2} \leq 500$$

D'après la note "Classification du réseau hydrographique mininal du Ruisseau et Gouffre" le relief du bassin du Ruisseau Supérieur est fort, il est du type B5.

3.4. Diagramme hydrographique

On a opté pour la méthode proposée par Mielke et Brater pour la classification des affluents. Ces méthodes, effectue le n° 1 au cours d'eau ne recevant aucun affluent, le n° 2 à ceux qui ne reçoivent que des affluents n° 1 etc...

Tableau des données hydrographiques

N° d'ordre	I	1	2	3	4	5	6	Total
Moyenne	751	176	41	11	2	1		932
Long. cumulative des I en km	158,5	84,9	34,3	12	4	0,7		306
Long. moy. I _m en km	0,2	0,45	0,86	1,09	3	0,1		0,300

Les longueurs moyennes et le nombre des cours d'eau en fonction de leur numéro d'ordre sont portés sur un papier semi-logarithmique (ayant pour abscisse le numéro d'ordre), donnent deux droites reliées. La longueur est croissante, et sa pente est égale à :

$$\frac{d \log I_x}{d z} = 0,363$$

• B •

et celle des nombres de jours d'eau est dégrossissante, sa valeur est égale à :

$$B_2 = \frac{4,105,2}{2,2} \text{ soit } 1,888$$

3.4.1. Densité du drainage

$$D = \frac{A}{B}$$

A = longueur d'affluent d'estre :

B = surface totale du bassin

$$D = 3,33 \text{ Km/Km}^2$$

3.4.2. Profils en long

Le longeur du bassin jusqu'à la station est de 13,5 Km. De l'aval jusqu'à la station du bassin supérieur, on trouve deux courbes dans le graphique de l'ordre 10000 km² trois pentes moyennes & équivalentes :
- de l'aval à l'aval

..... par une longueur de 1,5 Km 1er 4,1 %

..... " " " " de 3,5 Km 1er,3 %

..... " " " " de 5,5 Km 1er,25 %

4.- Historique du Barré Supérieur

En Décembre 1965 un limnigraphes Stevens Type F (réduction 1/10, vitesses 1 cm/h), deux éléments d'échelle de même graduation, et un téléphérique manuel ont été installés par des Américains lors d'une étude hydrogéologique de la région.

Ce téléphérique a été enlevé, vers les années 67-68 il ne reste actuellement que les poteaux (de fixation du treuil, et du renvoi des câbles) sur les berges de l'Oued à quelques dizaines de mètres en aval du pont.

22.4.1969 : l'ancien limnigraphes Stevens a été remplacé par un autre Stevens à 35 h grande autonomie (6 mois) deux éléments d'échelle de deux à quatre mètres ont été installés à la place des anciens et à 20 cm plus bas - deux éléments de 4 à 6 m ont été fixés sur des fers à U au mont du limnigraphes.

24.12.1971 : ce dernier limnigraphes a été aussi remplacé par un OTT I. le puits du limnigraphes a été creusé, et les lunes métalliques sur lesquelles reposent la guérite en bois du limnigraphes ont été abaisseées.

À la fin de Novembre 1973, on a procédé à la construction d'un déversoir rectangulaire pour les jaugeages d'étiage, et d'un abri de téléphérique pour les jaugeages de crues.

4.1.1976 : fin du chantier et mise en service du téléphérique SX 3 qui était à Barré Plaine.

5.- Morphologie du bassin du Rerral Plaine

5.1. Géométrie

C'est un bassin de forme allongée d'Ouest à Est, sa longueur est de 34 Km, sa largeur varie entre 8 et 16 Km.

La station hydrologique, se trouve à trois Km du confluent Rerral Majerdah. C'est un point de contrôle de tous les apports du Rerral et ses principaux affluents : Hadjer, Bouzur, Hammam, Haja et Aïtobbar.

Le bassin a une superficie de 356 Km² et comporte 2221 cours d'eau, l'aval de la station et de 5 Km² et comporte deux petits cours d'eau, on peut alors admettre que tous les apports qui passent par la station sont pratiquement les mêmes que ceux qui arrivent à la Majerdah.

5.2. Caractéristiques de forme

- périmètre du bassin	: P = 94 Km
- rectangle équivalent	
longueur	: L = 37,5 Km
largeur	: l = 9,5 Km
- Indice de compacité	: I _c = 1,395

L'indice de compacité du Rerral plaine est légèrement plus petit que celui du Rerral supérieure.

5.3. Relief

On distingue trois unités morphologiques dans le bassin

- 1/ au Nord et à l'Ouest : des chaînes de montagnes
- 2/ au Centre : des Dj. et des Keffs
- 3/ en aval : une plaine assez étendue de telle sorte que la ligne de séparation entre les bassins du Rerral et de la Majerdah n'est pas bien définie.

5.3.1. Hypsométrie

Les courbes de niveaux ont été tracées à partir des cartes au 1/50.000.

Les surfaces du bassin d'altitude supérieure ou égale à une altitude donnée sont classées dans le tableau suivant.

Tableau des données hypsométriques

Altitude en m	1272	1100	1000	900	800	600	500	400	300	200	175
Surf. en Km ²	0	1,25	6,70	19,5	43,2	77,0	160,2	266,8	259,8	301,5	356
Surf. en %	0	0,35	1,9	5,3	12,1	22,9	45,0	58,5	73,0	83,5	100

3. Morphologie du bassin du Raréf Plaine

3.1. Bassin

C'est un bassin de forme allongée d'Ouest à Est, sa longueur est de 34 Km, sa largeur varie entre 6 et 16 Km.

La station hydrographique, se trouve à trois Km du confluent Raréf Mayordah. C'est un point de contrôle de tous les apports du Raréf et des principaux affluents : Radjer, Boucar, Baoum, Kaja et Achchar.

Le bassin a une superficie de 356 Km^2 et comporte 225 cours d'eau, l'aval de la station et de 5 Km^2 et comporte deux petits cours d'eau, on peut alors admettre que tous les apports qui passent par la station sont presque tous les mêmes que ceux qui arrivent à la Mayordah.

3.2. Caractéristiques de l'aval

- paramètre du bassin	: $P = 94 \text{ Km}$
- paramètre équivalent	
longueur	: $L = 37,5 \text{ Km}$
largeur	: $B = 5,5 \text{ Km}$
- Indice de compacité	: $I_c = 1,395$

L'indice de compacité du Raréf plaine est légèrement plus petit que celui du Raréf supérieur.

3.3. Reliefs

On distingue trois unités morphologiques dans le bassin

- 1/ au Nord et à l'Ouest : des chaînes de montagnes
- 2/ au Centre : des Dj. et des Kefs
- 3/ au sud : une plaine assez étendue de taille suffisante que la ligne de séparation entre les bassins du Raréf et de la Mayordah n'est pas bien définie.

3.3.1. Hypsographie

Les courbes de niveau ont été tracées à partir des cartes au 1/50.000.

Les surfaces du bassin d'altitude supérieure ou égale à une altitude donnée sont classées dans le tableau suivant.

Tables des surfaces hypsodétriques

Altitude en m	1272	1150	1030	910	790	670	550	430	310	190	75
Bassin en Km^2	0	7,25	6,70	12,5	43,	17,0	160,2	200,8	259,8	303,5	356
Surfaces en %	0	0,35	1,9	3,3	12,1	34,9	45,0	50,6	73,0	82,5	100

4-- Historique du Raraf Supérieur

En Décembre 1965 un limnigraphes Stevens Type F (réduction 1/10, vitesse 1 cm/h), deux éléments d'échelle de même graduation, et un téléphérique manuel ont été installés par des Américains lors d'une étude hydrogéologique de la région.

Ce téléphérique a été relevé, vers les années 67-68 il ne reste actuellement que les poteaux (de fixation du tréuil, et du renvoi des câbles) sur les berges de l'Oued à quelques dizaines de mètres en aval du pont.

22.4.1969 : l'ancien limnigraphes Stevens a été remplacé par un autre Stevens à 35 à grande autonomie (6 mois) deux éléments d'échelle de deux à quatre mètres ont été installés à la place des anciens et à 20 cm plus bas - deux éléments de 4 à 6 m ont été fixés sur des fers à U au dessus du limnigraphes.

24.12.1973 : ce dernier limnigraphes a été aussi remplacé par un O.T.T. L. le puits du limnigraphes a été creusé, et les lunes métalliques sur lesquelles repose la grûrite en bois du limnigraphes ont été abîmées.

À la fin de Novembre 1973, on a procédé à la construction d'un déversoir rectangulaire pour les jaugeages d'étangs, et d'un abri de téléphérique pour les jaugeages de crues.

4.1.1976 : fin du chantier et mise en service du téléphérique SX 3 qui était à Raraf Plaine.

5-- Morphologie du bassin du Raraf Plaine

5.1. Géométrie

C'est un bassin de forme allongée d'Ouest à Est, sa longueur est de 34 Km, sa largeur varie entre 8 et 16 Km.

La station hydrométrique, se trouve à trois Km du confluent Raraf Majerdah. C'est un point de contrôle de tous les apports du Raraf et ses principaux affluents : Hadjer, Kassour, Hammam, Maja et Achabat.

Le bassin a une superficie de 156 Km² et comporte 2281 cours d'eau, l'aval de la station et de 5 Km² et comporte deux petits cours d'eau, on peut alors admettre que tous les apports qui passent par la station sont pratiquement les mêmes que ceux qui arrivent à la Majerdah.

5.2. Caractéristiques de forme

- périmètre du bassin	: P = 94 Km
- rectangle équivalent	
longueur	: L = 37,5 Km
largeur	: l = 9,5 Km
- Indice de compacité	: $I_c = 1,395$

L'indice de compacité du Raraf plaine est légèrement plus petit que celui du Raraf supérieur.

5.3. Relief

On distingue trois unités morphologiques dans le bassin
 1/ au Nord et à l'Ouest : des chaînes de montagnes
 2/ au Centre : des Dj. et des Kefs
 3/ en aval : une plaine assez étendue de taille sorte que la ligne de séparation entre les bassins du Raraf et de la Majerdah n'est pas bien définie.

5.3.1. Hypsographie

Les courbes de niveaux ont été tracées à partir des cartes au 50.000. Les surfaces du bassin d'altitude supérieure ou égale à une altitude donnée sont classées dans le tableau suivant.

Tableau des données hypsographiques

Altitude en m	1272	1100	1000	900	800	600	500	400	300	200	175
Surf. en Km ²	0	1,25	6,70	19,5	43,0	77,0	160,2	208,8	239,8	301,5	356
Altit.											
Surface en %	0	0,35	1,9	5,3	12,1	22,9	45,0	58,5	73,0	85,5	100

5-- Morphologie du bassin du Raraf Plaine

5.1. Géométrie

C'est un bassin de forme allongée d'Ouest à Est, sa longueur est de 34 Km, sa largeur varie entre 8 et 16 Km.

La station hydrométrique, se trouve à trois Km du confluent Raraf Majerdah. C'est un point de contrôle de tous les apports du Raraf et ses principaux affluents : Hadjer, Kassour, Hammam, Maja et Achabat.

Le bassin a une superficie de 156 Km² et comporte 2281 cours d'eau, l'aval de la station et de 5 Km² et comporte deux petits cours d'eau, on peut alors admettre que tous les apports qui passent par la station sont pratiquement les mêmes que ceux qui arrivent à la Majerdah.

5.2. Caractéristiques de forme

- périmètre du bassin	: P = 94 Km
- rectangle équivalent	
longueur	: L = 37,5 Km
largeur	: l = 9,5 Km
- Indice de compacité	: $I_c = 1,395$

L'indice de compacité du Raraf plaine est légèrement plus petit que celui du Raraf supérieur.

5.3. Relief

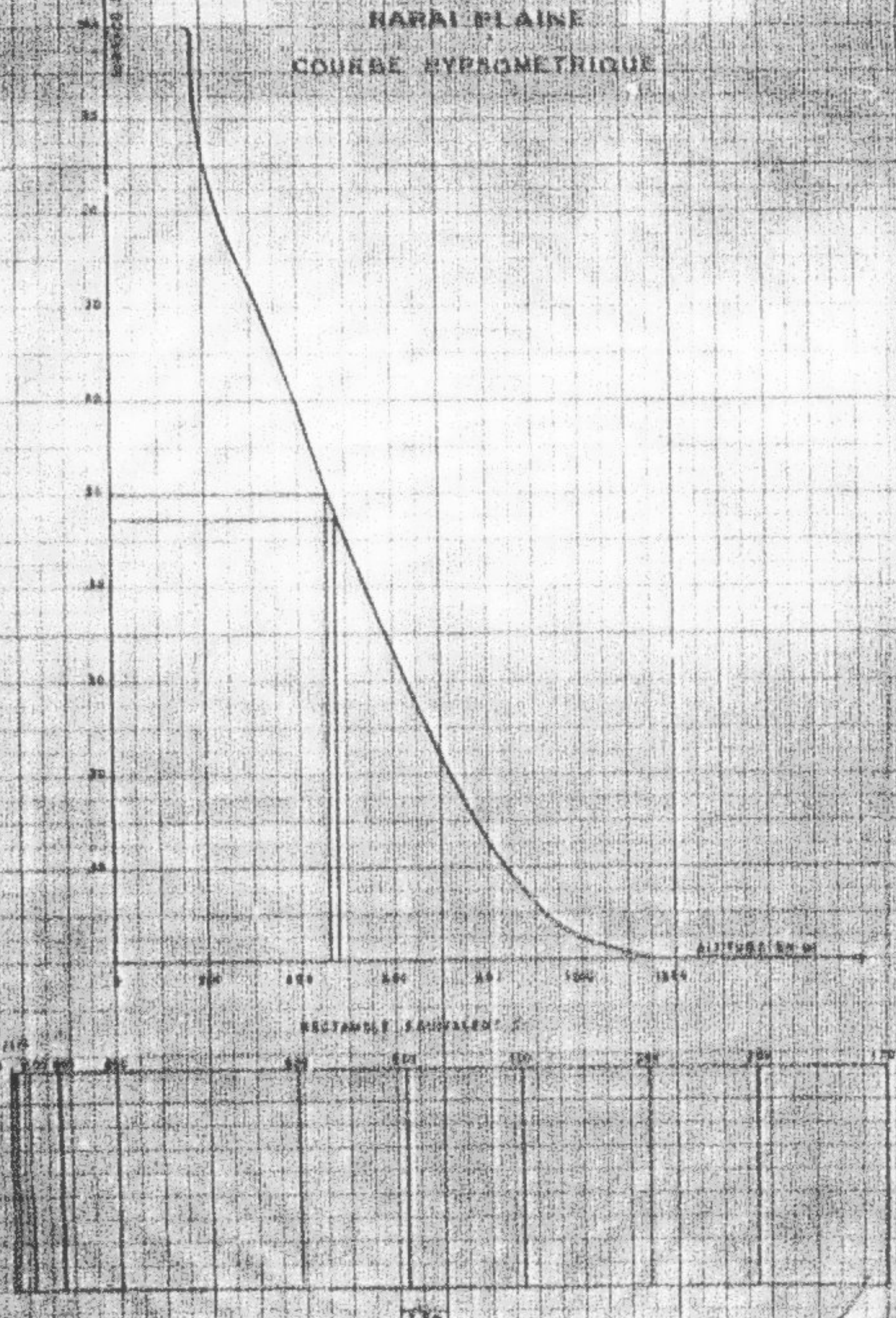
On distingue trois unités morphologiques dans le bassin
 1/ au Nord et à l'Ouest : des chaînes de montagnes
 2/ au Centre : des Dj. et des Kefs
 3/ en aval : une plaine assez étendue de taille sorte que la ligne de séparation entre les bassins du Raraf et de la Majerdah n'est pas bien définie.

5.3.1. Hypsographie

Les courbes de niveaux ont été tracées à partir des cartes au 50.000. Les surfaces du bassin d'altitude supérieure ou égale à une altitude donnée sont classées dans le tableau suivant.

Tableau des données hypsographiques

Altitude en m	1272	1100	1000	900	800	600	500	400	300	200	175
Surf. en Km ²	0	1,25	6,70	19,5	43,0	77,0	160,2	208,8	239,8	301,5	356
Altit.											
Surface en %	0	0,35	1,9	5,3	12,1	22,9	45,0	58,5	73,0	85,5	100



Pourcentage de la surface totale comprise entre les différentes courbes de nivelle.

Altitude	Pourcentage
200 à 300	12,5
300 à 400	14,4
400 à 500	13,6
500 à 600	12,1
600 à 800	20,8
800 à 900	6,6
900 à 1000	3,6
1000 à 1100	1,5

5.3.2. Résultats

- Altitude moyenne Alt m ~ 480 m
- " médiane Alt 1/2 ~ 460 m
- " maximum Alt max. ~ 1202 m
- " minimum Alt min. ~ 175 m
- Indice de pente globale I_g ~ 19,6 m/km
- Indice de pente de 200% I_p ~ 0,15
- Dénivellée spécifique D_s ~ 370 m

La dénivellée spécifique du Rerat plaine est comprise entre 250 m et 500 m $250 < D_s < 500$.

Le relief est alors considéré fort. Il est du type R_6 .

5.4. Bassin hydrographique

Pour la classification des cours d'eau, on a opté la même méthode que celle utilisée pour le Rerat supérieur, c'est à dire la méthode proposée par Viallet et Brater.

Tableau des données hydrographiques

N° d'ordre X	1	2	3	4	5	6	7	Total
Zonbre N X	1742	407	97	26	6	2	1	2281
Log. cumulée des X en Km	447	149	113	46	30	18,5	11,8	835
Log. moyenne T X	0,26	0,34	1,16	1,77	8,3	9,3	11,8	

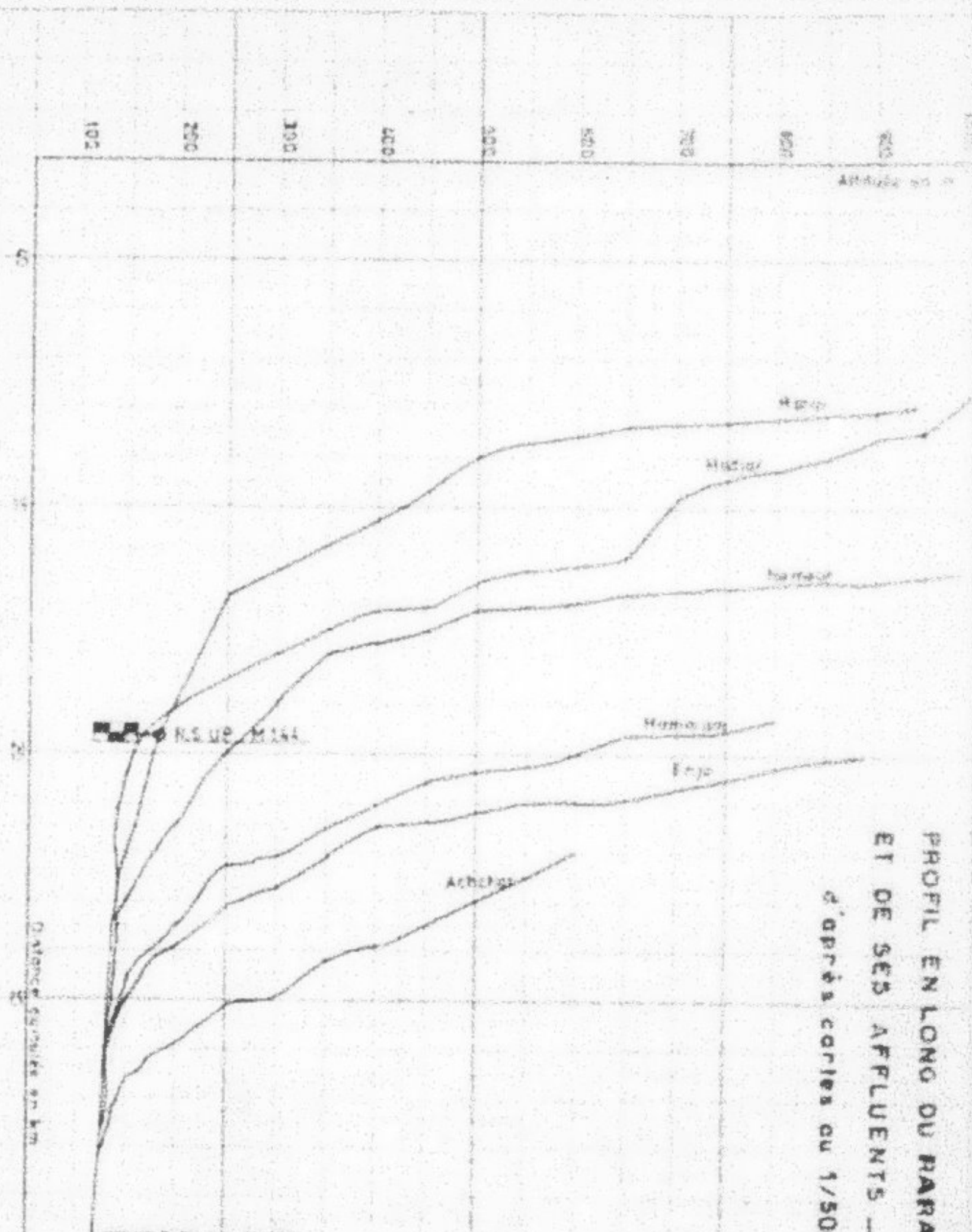
Les fonctions $\log N X = f(N)$ et $\log T X = f(T)$
sont deux droites de pente respectives.

$$R_x = 0,421$$

$$R_T = 0,358$$

PROFIL EN LONG DU HARAI
ET DE SES AFFLUENTS —

d'après cartes au 1/50000



3.4.1. Densité de drainage

$$D = 2,35 \text{ km}^2/\text{km}^2$$

3.4.2. Profil en long

Les profils en long du Baraï et ses principales affluentes ont été établis à partir des cartes au 1:50 000.

Les distances sont mesurées à partir de la station hydrologique du Baraï plaine.

Tableau des longueurs et des dénivellations

du Baraï et de ses affluents

affluent	Baraï	Achabar	Erga	Kanoun	Borouf	Nedjar
Distances de Baraï plaine au confl.	0	3	7,6	8	9	13,2
Longueur en km	34,5	15	12,2	13,4	16,5	21,4
Déniv. en m	830	475	760	670	850	860

On remarque que l'Erga, Nedjar est l'affluent le plus long, et l'Erga, Kéja est l'affluent du Baraï qui a la plus forte pente globale 6,2 %.

On a dressé les profils en long du Baraï et ses affluents ; on a trouvée à chaque variation notable de la pente moyenne, des listes des points, et on a déterminé les pentes moyennes correspondantes à chaque tronçon.

Tableau des variations de la pente moyenne

du Baraï et de ses affluents

affluent	Baraï	Nedjar	Borouf	Kanoun	Erga	Achabar
1ère partie (0-15,2 km)	0-12,2	13,2-17,0	17-13	8-11,6	14,6-17,0	17-6,5
P. en m/km	1,12	0	1,25	0,3	12,5	6,6
2ème *	13,2-21,5 21,5-26,2	21,5-24	21,5-15,5	11,8-17	6,6-9,8	
P. en m/km	4,25	9,45	20	74,5	42,5	100
3ème *	21,5-26,2 26,2-35,1	26,2-25,1	25,2-12,6	17-18,8	9,5-16,2	
P. en m/km	12,5	46,5	63,2	166,6	200,7	250
4ème *	26,2-32,2 32,2-35,1	32,2-26,3 35,1-17	32,2-12,6	18,2-20	16,2-16	
P. en m/km	53,1	250	214,1	41,7	133,3	21,7
5ème *	32,2-34	34-37	36,5-27	17-18,6		
P. en m/km	268,4	50	340	22,5		
6ème *	34-37			15,8-15,5		
P. en m/km		150		142,5		
7ème *	37-39,5			19,5-20,5		
P. en m/km		20,5		75,9		
8ème *	39,5-43			20,1-21,6		
P. en m/km		95		250		
9ème *	43-54,4					
P. en m/km		26,1				

(Les distances sont mesurées à partir de la station Baraï plaine).

Annexes historiques du Baraf Plainé

Les mesures de débit ont commencé le 9.12.1950. À partir de cette date jusqu'au fin Août 1965, 44 jaugeages au moulinet et à pied ont été réalisés.

Pendant cette période, on ne prendait aucune indication sur la teneur en eau, les jaugeages n'étaient pas rattachés à un repère, et n'avaient pas effectuée au même endroit.

En Septembre 1969, un télémètre Stavone A 35 à grande autonomie et à pieds, et une batterie d'obstacles de dix éléments d'un autre allant de 1500 à 2500 ont été placée au rive gauche de l'Oued.

Les éléments d'obstacle ont été installés de la manière suivante :

- un élément de 1500 à 1600 fixé sur le mur du canal
- deux éléments de 1600 à 1700 et de 1700 à 1800 ont été montés sur un fer à U à 10 m en aval du télémètre.
- deux éléments de 1800 à 1900 et de 1900 à 2000 sont mis sur un fer à U près des deux derniers éléments.
- le reste des éléments de 2000 à 2500 ont été fixé sur la poutre du télémètre du côté de l'ouverture de la guérite.

La crue de Septembre 1969 a endommagé les éléments montés sur fer à U.

21.4.1971 : Remise en état de nos dernières éléments :

- de 1600 à 1800 sur le mur du canal
- de 1800 à 1900 sur le mur de la station de côté de l'Oued,
- et de 1900 à 2000 sur le mur de la station du côté de l'ouverture de la guérite.

1.12.1971 : Installation d'un téléphérique BK 3 OTT.

20.1.1972 : Premier jaugeage au téléphérique. Une seule traversée a pu être effectuée à cause d'une panne intervenue sur le tréuil.

13.4.1972 : Réparation du tréuil et jaugeage de crue (3 traversées).

13.6.1972 : Mesures de crue (manipulation du tréuil très difficile car que le moulinet dépasse la taille du cabot).

25.6.1973 : Un télémètre OTT X à 1/10 a remplacé le Stavone.

7— Limnétie du Baraf plaine

Sur les six années d'observations limnétiques (1969-1974) nous distinguons deux périodes.

7.1. De Sept. 1969 à Juin 1973

Pendant cette période, la limnétie n'est pas adéquate, l'enregistrement du limnigraphes Stevens, n'est pas bon, retournements du stylet difficile à préciser parfois, panne du mouvement d'horlogerie, utilisation d'un rouleau de diagrammes OTT à la place d'un rouleau de papier Stevens correspondant à l'appareil (ce papier manque) et enfin utilisation des rouleaux de papier Stevens qui ont été déjà utilisés.

Le limnigraphes est tombé en panne depuis Oct. 1970 jusqu'au Fiv. 1971. Pendant ces cinq mois l'observateur fait ses lectures régulièrement en Italie, mais elles nous semblent douteuses. Pour compléter l'année, nous avons supposé qu'il n'y a pas eu de crues et nous avons interpolé dans le temps entre les jaugeages.

7.2. De Juil. 1973 à Août 1975

Durant cette période la station est suivie d'une façon satisfaisante. Le changement de l'ancien limnigraphes par un OTT (fin Juin 1973) et le remplacement du Chef de zone de Ghardimaou, ainsi que de l'observateur, ont été bénéfiques pour la station.

Il y a une correspondance parfaite entre l'enregistrement et les lectures de l'observateur pendant les crues. Les décrues souvent mal enregistrées (envasement du canal) sont reconstruites sans difficultés.

8.- Les jaugeages à Rueil Plaine

8.1. Jaugeages d'étiage

Bien que les jaugeages aient commencé depuis Déc. 1950, les mesures de débit rapportées à une côte à l'échelle datent de 1966. Pendant cette période nous n'avons que 17 jaugeages.

De Juin 1966 à Sept. 1969, les jaugeages se sont poursuivis d'une façon irrégulière pendant ces trois années sous forme de jaugeages effectués au micromoulinet sur perche mobile. La côte d'étiage est de 140 sur l'échelle. En Sept. 1969 la batterie d'ondelles a été remplacée par celle qui existe actuellement. Le calage entre les deux batteries est inconnu.

A partir de cette date jusqu'en Sept. 1975, nous comptons 121 jaugeages. La répartition dans le temps de ces jaugeages est assez régulière (en jaugeage par quinzaine).

Dans l'établissement de la courbe d'étalonnage aux basses eaux nous n'allons tenir compte que de la période postérieure à Sept. 1969, puisqu'elle est la mieux suivie et la plus importante au point de vue nombre de jaugeages.

8.2. Jaugeages de crues

Depuis que le télémétrique est installé en 1969, nous trouvons 13 jaugeages compris entre 1,5 et 10 m^3/s et 4 séries de jaugeages au téléphérique.

Date	Côte max. de crue	Côte max. de jaugeage
11-15/04/1972	1880	1830
23-27/01/1973	1980	1800
25-30/03/1973	2331	2100
17-19/02/1975	2034	2034

Ces jaugeages ont été effectués selon la méthode des jaugeages continues par verticale, et représentent au droit de la section de jaugeage et au maximum d'écoulement une lame d'eau comprise entre 2,5 m et 5 m.

Ils ont permis de tracer le début des courbes d'étalonnage hautes eaux pour 2 périodes avant Mars 1973 et après Mars 1973.

5.3. Différence entre les deux types de

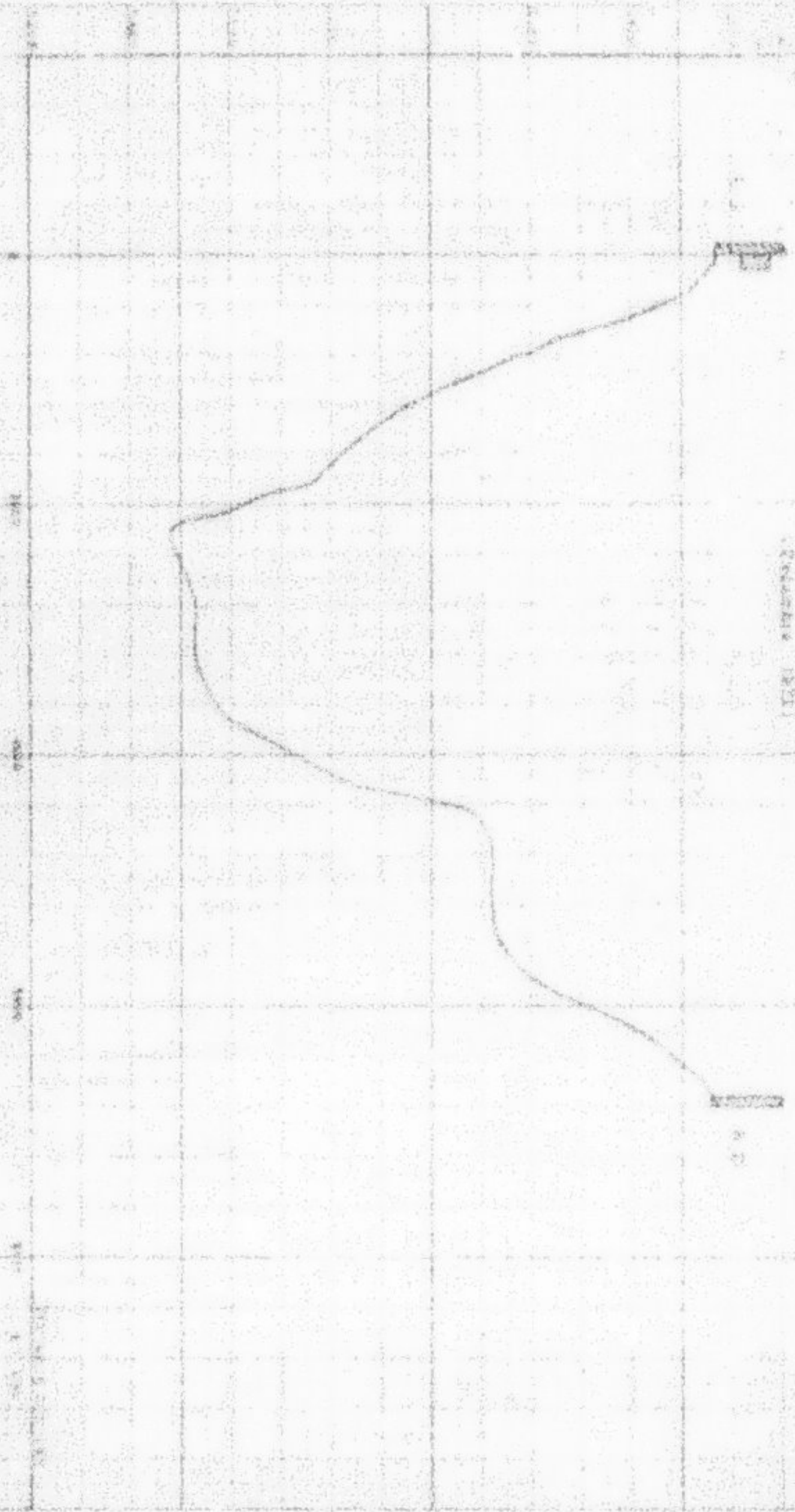
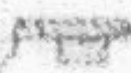
Les pentives de drainage au niveau juste au-delà d'une série de
côtes à l'aval sont le plus important poste du coût de la ligne
générée par les méthodes 2000, 2500 et 300 (voir profil de terrain).
On peut alors à un développement approfondi se poser des questions sur
ce qui est le rôle joué par lui dans l'augmentation du coût de la station.

Les angles terrasseaux et versants sont très importants et
sont nécessaires, nous avons donc essayé lors de l'échantillonnage de faire des
approximations sur les pentivages de l'ordre de 1% à 10% pour voir si
ces angles entraînaient des différences.

RAPAI PLAIN

PROFIL EN TRAVERS AU DROIT DU CABLE DU TELEPHERIQUE

REGISTRE N° 21



9... Stalonnage de la station

Les points Q = P (ST), débit en fonction de la côte à l'échelle, placés sur papier millimétré se trouvent séparés à partir de la côte 1640 en deux groupes, celui d'avant Mars 1973 et celui d'après. L'écart relatif maximum est de 35 % à la côte 2160.

Les vitesses moyennes en fonction de la côte à l'échelle s'alignent sur deux demi-droites, qui divergent progressivement quand la côte monte. Les vitesses de la crue de Mars 1973, se trouvent sur une courbe parabolique partant de la demi-droite correspondante aux crues d'avant Mars 1973 et rejoignant celle de Février 1975.

Ces données nous permettent de définir deux périodes où les étalonnages sont nettement différents, la période antérieure à Mars 1973 et la période postérieure à Mars 1973.

9.1. Courbe d'étalonnage basses eaux

Les écarts à une même hauteur, des débits inférieurs à $4 \text{ m}^3/\text{s}$ sont parfois supérieurs à 100 %, on pourrait expliquer ces écarts par la présence d'une mouille au niveau du limnigraphie. Cependant l'existence d'un nombre important de jaugeage dans cette zone nous permet de tracer une courbe basses eaux, passant à travers le nuage de points.

Pour les deux périodes antérieures, et postérieures à Mars 1973, nous avons gardé la même courbe d'étalonnage jusqu'à la côte 1640.

9.2. Courbe d'étalonnage hautes eaux

Pour la période antérieure à Mars 1973, nous disposons de deux séries de jaugeages (Avril 1972 et Janvier 1973), le débit maximum jaugé est de $50 \text{ m}^3/\text{s}$.

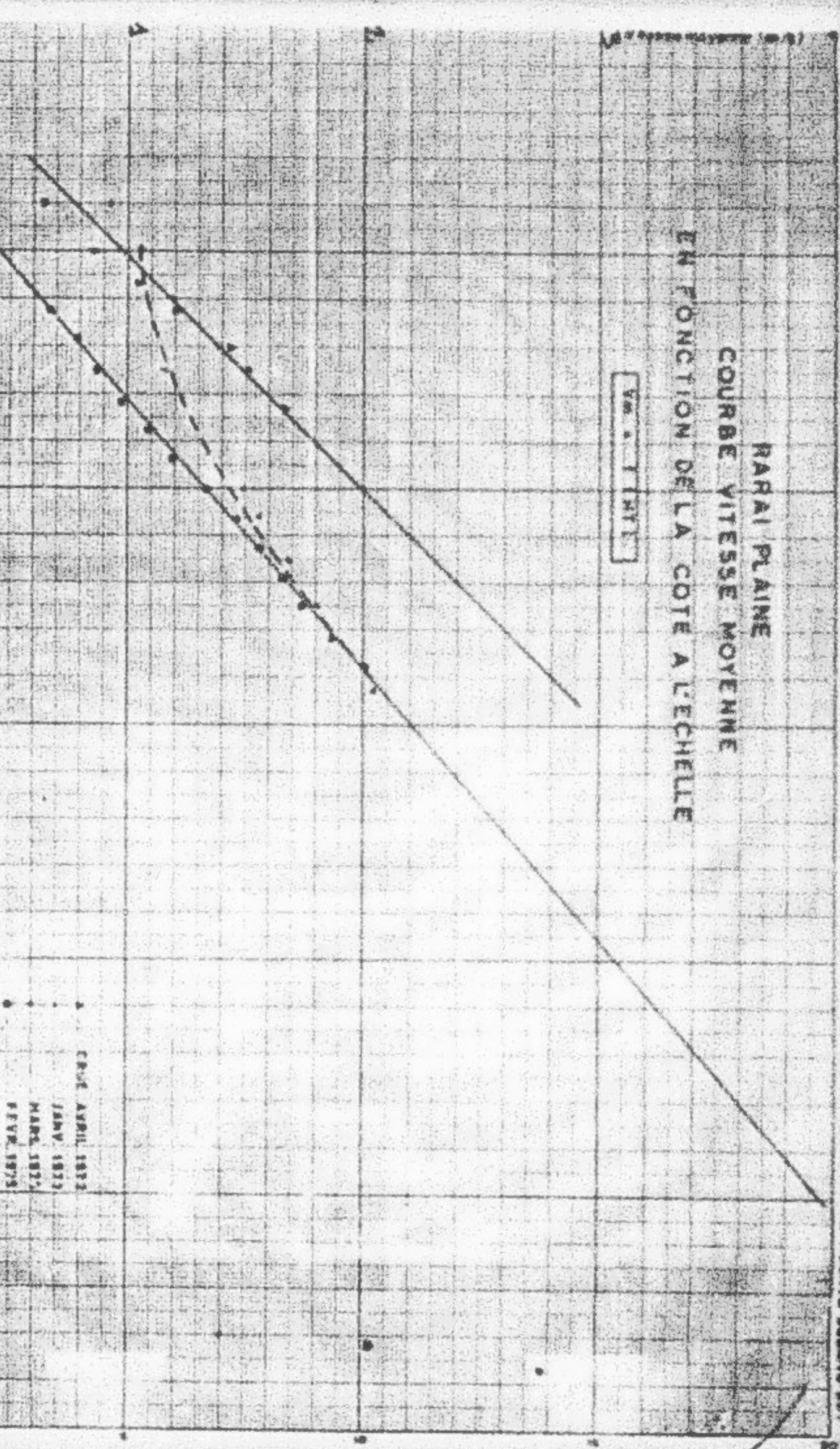
Pour la période postérieure à Mars 1973, nous disposons aussi de deux séries de jaugeages (Mars 1973 et Février 1975), le débit maximum jaugé est de $320 \text{ m}^3/\text{s}$.

9.3. Extrapolation

L'extrapolation des deux courbes d'étalonnage hautes eaux est faite à partir de la courbe section mouillée (relevé topographique 1971) en fonction de la côte à l'échelle et les courbes des vitesses moyennes en fonction de la hauteur d'eau, des crues antérieures à Mars 1973 et de la crue de Février 1975.

RARI PLAINE
COURBE VITESSE MOYENNE
EN FONCTION DE LA COTE A L'ECHELLE

VIT. MÉT.



RARAI PLaine
COURBE D'ETALONNAGE

basses et moyennes

deux

Haute 757

Basse 305

40

32

25

15

5

0

16.72

13.2

11

10

9

8

7

6

5

4

3

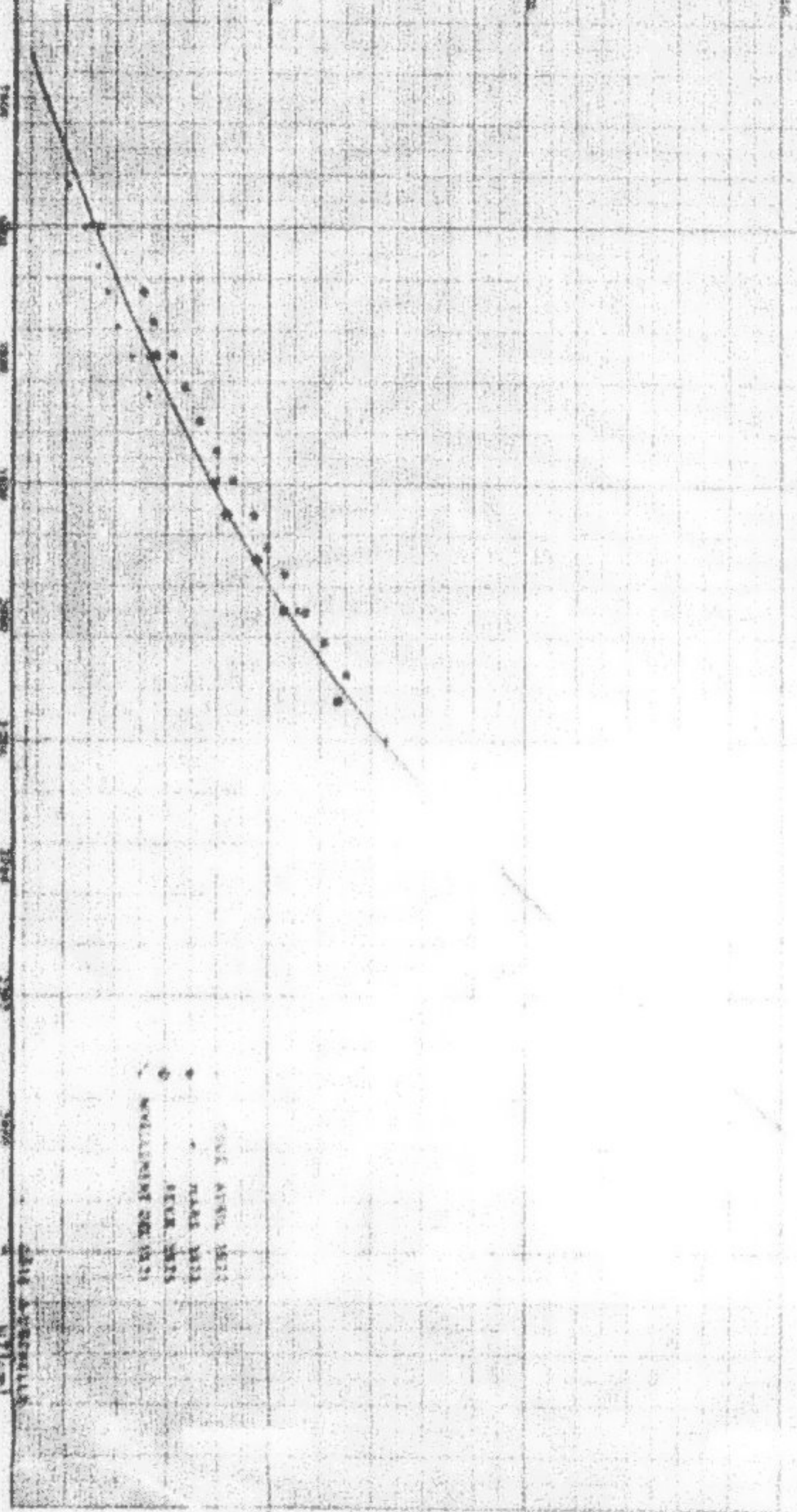
2

1

COURBE SECTION MÉTALLIQUE

Série Régulière

EN FONCTION DE LA COTE A L'ÉCHELLE

S. = 1 m²

Il est à noter que les courbes sectionnées pour l'axe S - P (NT) tirées des profils en travers des jaugeages se trouvent très approchées de celle tracée à partir du relevé topographique de 1971.

La courbe d'étalonnage de la période antérieure à Mars 1973 est extrapolée jusqu'à la côte 2100. Elle correspond au barème 752.

La courbe d'étalonnage de la période postérieure à Mars 1973 est extrapolée jusqu'à la côte 2400. Elle correspond au barème 751.

100

KARAI PLAINE

COURSE D'ETALONNAGE

hautes eaux BN 752

300

Partie extrapolée

200

100

1500

1600

1700

1800

1900

2000

2100

47

100

KARAI PLAINE

COURSE D'ETALONNAGE

hautes eaux BN 752

300

Partie extrapolée

200

100

1500

1600

1700

1800

1900

2000

2100

47

PARAI PLAIN

COURBÉE D'ÉTALONNAGE

hauts eaux BN 751

Partie extrapolée

10.- Etude des données hydrologiques

10.1. Critique des données encaugees

Les jaugeages les plus importants faits à la station du Ksar plainain étant de $60 \text{ m}^3/\text{s}$ (période antérieure à Mars 1973) et de $320 \text{ m}^3/\text{s}$ (période postérieure à Mars 1973), tous les débits supérieurs ont été obtenus à partir des deux courbes d'étalonnage extrapolées relatives aux deux périodes d'étalonnage. Les valeurs ainsi obtenues présentent nécessairement des erreurs, ces dernières sont de l'ordre de $\pm 5\%$.

Les débits de crues inférieurs au maximum jauge correspondant à chacune des courbes d'étalonnage sont annexés à $\pm 10\%$.

Pour les périodes d'étalage, nous avons interpolé sur un papier semi-log les débits moyens journaliers entre les jaugeages (au tout les 15 jours).

Ainsi nous disposons d'une série de 6 années complètes de débits moyens journaliers, les apports annuels se trouvent dans une fourchette de $\pm 15\%$ par rapport aux chiffres donnés.

Avec les données que nous possédons, nous ne pouvons pas faire une étude statistique des caractéristiques hydrologiques, mais tout de même nous pouvons nous rapporter à la Monographie de la Majordan, et précisément au graphique de Fréquence-hydrologie pour estimer la fréquence d'occurrence des crues maximales annuelles, nous citons à titre d'exemple la crue de Mars 1973 qui fut très cétinatoire avec un coefficient $K = 4,3$.

10.2. Séparation des apports de crues

Pour nous égager pour chaque crue le volume ruisseau du volume déversé, l'heure et le débit de commencement de l'écoulement hypodarelique sont déterminés à partir de la courbe tracée sur papier semi-log.

10.3. Erosion des coulées

10.3.1. Ruisselement sur le bassin

Nous rappelons que le bassin de l'Oued Ksar est mal équipé, pour une étude du ruissellement, le nombre de pluviomètres est de deux, et ils ne sont pas bien suivis, le pluviomètre d'El Fakicha qui se trouve dans une zone montagneuse est souvent en panne durant la période 1969-1973.

La forme allongée du bassin ne se prête pas à un ruissellement rapide, le temps de montée des crues pour un bassin de 356 km^2 de superficie est relativement grand, les crues mêmes si elles ne sont pas importantes peuvent durer deux à trois jours.

.../...

La couverture végétale est dense, elle l'est d'avantage pendant le printemps, par conséquent l'érosion hypodermique est important.

Le sol peut absorber des pluies assez importantes, le seuil de pluie provoquant le ruissellement se situe entre 20 et 30 mm en 24 heures selon les saisons.

10.3.2. Occurrence des crues

Nous avons rassemblé dans le tableau ci-dessous, toutes les crues enregistrées depuis Sept. 1969 jusqu'en Août 1975.

Il ressort de ce tableau que sur un total de 59 crues il y a 51 qui sont survenues pendant les mois de Déc. Janv. Fév. Mars et Avril soit 86,4 % et aucune crue en Juin, Juil. Août.

Occurrence des crues

ANNEE	Sep.	Oct.	Nov.	Déc	Janv.	Fév.	Mars	Avr.	Mai	Juin	Juil.	Août	TOTAL ANNUEL
1969-70	1			2	1	2	1						7
1970-71				1	2	-	3	2					8
1971-72		2			1	4	5	2	1				15
1972-73					1	1	4						5
1973-74		1	2	1	3	2	3						12
1974-75			2	2	1	2	2	1	1				11
Total mensuel	1	3	2	7	6	11	16	9	2				59
Pourcentage moyen	1,7	5,1	3,4	11,9	10,2	18,6	30,5	15,2	3,4				Moy...9,8 cruespar an.

10.3.3. Les débits de crues

Nous remarquons dans le tableau suivant qu'il n'y a pas eu de crues importantes durant les années 1973-74 - 1974-75 et que la crue exceptionnelle de Mars 1973 estimée centenaire fausserait toutes les moyennes établies sur un échantillon de 6 années.

Débits de crues maximales annuelles

Année	Q max. m ³ /s	Dates	Volume de la crue max. 10 ⁶ m ³	Classement des Q max.	Fréquence sur 6 ans
1969-70	373	20.12.69	35,10	830	0,14
1970-71	149	10.4. 71	15,55	373	0,23
1971-72	139	13.4. 72	12,85	247	0,43
1972-73	830	27.3. 73	65,73	149	0,57
1973-74	23,7	25.4. 74	2,27	135	0,71
1974-75	267	18.2. 75	15,30	23,7	0,86

10.3.4. Les apports de crues

Nous avons calculé le volume ruisseaué de toutes les crues de chaque année. Les apports, annuels de crues, de la crue maximale et les apports totaux annuels sont confrontés dans le tableau ci-dessous.

Année	Apports Annuels des crues 10 ⁶ m ³	Apports de la crue max. 10 ⁶ m ³	Apports Totaux annuels 10 ⁶ m ³	Apport volume des crues volume annuel
1969-70	46,42	35,10	82,7	0,56
1970-71	52,15	15,55	73,5	0,71
1971-72	38,55	12,85	55,2	0,56
1972-73	102,5	65,73	155	0,66
1973-74	10,3	2,27	33,5	0,31
1974-75	25,9	15,30	39,5	0,66

Les apports totaux annuels pendant ces six années varient entre 33,5 et 155 millions de m³, même si on enlève de la série l'année exceptionnelle 1972-73 les apports annuels peuvent être multiplier par 2,5 d'une année à une autre.

Les apports des crues représentent plus de 50 % des apports totaux à l'exception de l'année 1973-74 qui est relativement élevée.

Les apports de la crue maximale représentent 20 à 75 % des apports annuels des crues.

10.4. Les débits de base

Les découlements de base à Zaraï plaine sont importants ils représentent 29 à 51 % des apports annuels.

Les débits moyens journaliers de chacune des six années d'observation sont classés à l'ordinateur.

.../...

Sur le plan des débits dans la station étudiée, les débits observés sont les suivants de base, et les moyennes annuelles.

Année	Débit de base mm/m ³	Moyenne caractéristique						Apports totaux annuels mm/m ³
		D01 1/2	D02 1/2	D03 1/2	D04 1/2	D05 1/2	D06 1/2	
1965-70	36,25	97	113	134	277	1359	6480	62,7
1970-71	21,35	102	120	145	262	1292	7160	72,9
1971-72	36,55	132	153	192	353	1450	6730	65,2
1972-73	52,5	151	173	200	350	1545	7375	75,5
1973-74	23,2	98	111	126	251	1130	3630	35,2
1974-75	13,8	132	142	178	228	665	2000	35,5

Le D03 et le D05 de l'année 1974-75 sont très faibles par rapport à ceux des autres années, par contre le D02 de 1972-73 est supérieur à celui de 1973-74 ce qui explique la différence des apports totaux annuels de ces deux années.

Le D01 des six années est un débit de crue, cela veut dire qu'il y a au moins 30 jours de crues par an.

Les apports totaux annuels des deux dernières années sont faibles par rapport aux autres années et cela est dû à la faible pluviométrie (la station pluviométrique d'El Faidja, en a fait 946,5 mm en 73-74 et 977 mm en 74-75 alors que pendant les autres années (1965-72) la pluviométrie dépasse 1200 mm), le DCE débité également en moyenne pendant 333 jours de l'année est supérieur à 150 l/s à l'exception de l'année 1965-70 qui est de 97 l/s mais si nous tenons compte des erreurs introduites sur les résultats des mesures et sur le procédé utilisé pour l'interpolation qui sont estimées à 10 % pour les crues, nous pouvons affirmer que le DCE est supérieur à 80 l/s.

10.5. Résumé

Sous disposons à la station du Kefal plusieurs d'une série de six années d'observation d'assez bonne qualité. Cette courte série ne nous permet pas pour le moment de faire une analyse statistique d'autant plus qu'elle inclut des phénomènes exceptionnels de Mars 1973.

La précision sur les débits journaliers et les débits extrapolés étant de $\pm 10 \%$ et $\pm 15 \%$, ainsi les apports totaux annuels sont estimés à $\pm 15 \%$.

Les débits de base sont parfaits, on n'a jamais vu l'ouïe à peu près à la station. Les apports de base annuelle sont compris entre 13,6 et 52,5 millions de m³. Ils constituent donc des ressources en eau évidemment exploitable.

La somme moyen interannuel de crues est de 5,0 et chaque crue peut durer de 1 à 5 journées jusqu' selon son importance.

Les apports de crues représentent 31 à 71 % des apports totaux annuels.

Les différents paramètres caractérisant le régime hydrologique varient également sur une gamme assez étendue. Nous avons rassemblé dans le tableau ci-dessous les principales résultats caractérisant le régime hydrologique.

Tableau récapitulatif des principales

Résultats

Année	S. ann. m ³ /s	Apports totaux annuels 10 ⁶ m ³	Apports annuels des crues 10 ⁶ m ³	Apports annuels d'origine fluviale 10 ⁶ m ³	Débita		
					D/1	D/2	D/3
1969-70	373	62,7	25,42	36,26	6640	271	118
1970-71	149	73,3	32,15	21,35	7840	300	130
1971-72	139	59,2	36,65	30,37	6730	252	103
1972-73	830	155	102,5	52,90	7370	250	115
1973-74	23,7	33,5	10,30	23,20	3400	251	131
1974-75	867	39,5	25,50	13,50	2900	220	102

11.- Salinité et transports solides

Le premier prélèvement date du 27 Juin 1950, depuis cette date jusqu'à Septembre 1969 (date d'installation de l'enregistrement) nous avons rassemblé 24 échantillons dont 15 ont fait l'objet d'une analyse ionique (dite analyse complète).

La période 1965-1975 a été suivie, les prélèvements se font à peu près régulièrement comme les jaugeages, une fois tous les 15 jours. pendant ces six années nous disposons de 177 analyses dont 33 complètes.

Depuis 1950 jusqu'au fin Août 1975, nous disposons donc de 201 prélèvements faits au site du Marai plaine.

11.1. Salinité

11.1.1. Valeurs du résidu sec

Les valeurs du résidu sec à Marai plaine s'échelonnent de 0,131 g/l à 2,570 g/l, les concentrations des échantillons prélevés en étang se situent pratiquement tout au long de cette gamme à l'exception des valeurs les plus faibles, qui correspondent à des analyses relatives à des mesures faites en hautes eaux.

Nous avons dénombré les analyses rangées par classe de salinité : on obtient pour la période 1950-1975 :

$RS < 0,250 \text{ g/l}$	33 analyses soit 16,4 %
$0,250 < RS < 0,500 \text{ g/l}$	21 " " 10,4 %
$0,500 < RS < 0,75 \text{ g/l}$	17 " " 8,5 %
$0,75 < RS < 1,00 \text{ g/l}$	11 " " 5,5 %
$1,00 < RS < 1,250 \text{ g/l}$	9 " " 4,5 %
$1,250 < RS < 1,500 \text{ g/l}$	25 " " 12,4 %
$1,500 < RS < 1,750 \text{ g/l}$	52 " " 25,9 %
$1,750 < RS < 2,00 \text{ g/l}$	27 " " 13,4 %
$RS > 2,000 \text{ g/l}$	6 " " 3 %

Total = 201 analyses

La corrélation n'est pas nette entre le débit et les salinités, la variation de la salinité pour le même débit est parfois de 300 %.

Le nombre de prélèvements pendant les crues est insuffisant pour pouvoir tracer les salinogrammes. Cependant on peut admettre grossièrement les valeurs suivantes :

- salinité des étages : 1,2 à 2 g/l
- " " des crues : 0,2 à 0,7 g/l
- " moy. des app^{ts} : 0,7 à 1 g/l

.../...

OUED RARAI A RARAI PLaine

ANALYSES CHIMIQUES DES EAUX COMPOSITION RELATIVE DES ANIONS ET DES CATIONS

CATIONS⁺

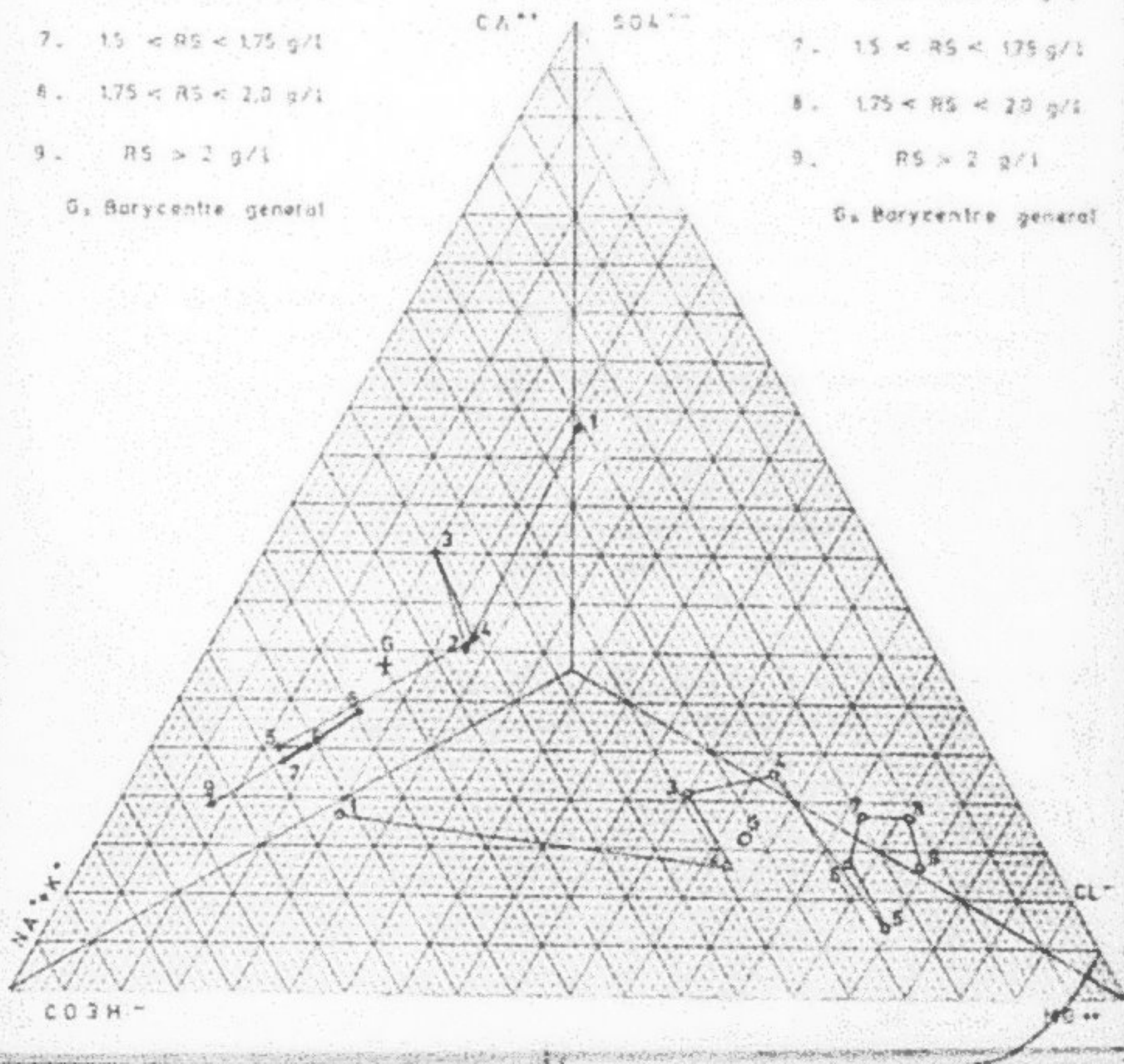
- Barycentres des classes
1. $RS < 0.25 \text{ g/l}$
 2. $0.25 < RS < 0.5 \text{ g/l}$
 3. $0.5 < RS < 0.75 \text{ g/l}$
 4. $0.75 < RS < 1.0 \text{ g/l}$
 5. $1.0 < RS < 1.25 \text{ g/l}$
 6. $1.25 < RS < 1.5 \text{ g/l}$
 7. $1.5 < RS < 1.75 \text{ g/l}$
 8. $1.75 < RS < 2.0 \text{ g/l}$
 9. $RS > 2 \text{ g/l}$

G. Barycentre général

ANIONS⁻

- Barycentres des classes
1. $RS < 0.25 \text{ g/l}$
 2. $0.25 < RS < 0.5 \text{ g/l}$
 3. $0.5 < RS < 0.75 \text{ g/l}$
 4. $0.75 < RS < 1.0 \text{ g/l}$
 5. $1.0 < RS < 1.25 \text{ g/l}$
 6. $1.25 < RS < 1.5 \text{ g/l}$
 7. $1.5 < RS < 1.75 \text{ g/l}$
 8. $1.75 < RS < 2.0 \text{ g/l}$
 9. $RS > 2 \text{ g/l}$

G. Barycentre général



11.1.2. Composition chimique des eaux

Sur les 51 analyses complètes faites au basal plaine, nous n'en avons éliminé qu'une que nous avons jugé aberrante, et nous les avons classées en 9 classes de raisonnes. Chaque classe est représentée par ses pourcentages sur le graphique triangulaire et dans le tableau des analyses suivant :

Classe des régions basses	Pourcentages des catégories			Pourcentages des solides			Nature
	Ca ⁺⁺ %	Mg ⁺⁺ + Fe ⁺⁺ %	K ⁺ %	SiO ₂ %	Si %	Ca/Mg %	
≤ 0,25 g/l	55,5	21,3	23,2	16,2	20,2	61,9	Forêt cruee
0,25 < Ca ≤ 0,5 g/l	35,7	22,2	41,3	13,2	37,2	25,6	Faible
0,5 < Ca ≤ 0,75 g/l	45,0	15,1	39,9	20,2	30,0	89,2	brute
0,75 < Ca < 1 g/l	35,2	23,0	40,8	23,0	35,8	20,2	
1 < Ca ≤ 1,25 g/l	25,0	11,5	63,5	1,5	74,0	16,2	Stagnant
1,25 < Ca ≤ 1,5 g/l	25,1	13,5	61,5	13,5	67,5	38,4	
1,5 < Ca ≤ 1,75 g/l	23,7	12,7	63,6	16,2	70,3	19,0	
1,75 < Ca ≤ 2 g/l	20,7	16,4	34,5	26,2	73,5	10,6	Minérale
Ca > 2 g/l	15,0	6,7	72,1	13,3	76,7	92,0	Marine
Poids moyen central	33,1	11,0	55,9	16,1	57,3	45,1	

Sous ce rapportage pas moi l'avez les méthodes d'utilisation des diagrammes triangulaires. On le trouvera par exemple dans "Hydrographie de la Région" Tome II ~ DRAF/CHAMPS 1-11.

Le diagramme triangulaire et le tableau ci-dessus se sont très représentatifs de la qualité des eaux à Rabat car il y a quelques classes qui ne correspondent pas à du à séparer, ce qui est très insuffisant mais tout de même on peut voir une tendance par l'évolution des eaux. On voit par exemple que les eaux les moins creuses sont caractérisées par des eaux peu distinguées présentant une forte concentration en chlorure de magnésium.

11.2. Température solaire

Sur l'ensemble des prélevements il n'y a que 43 solentilles qui ont fait l'objet de mesure des matières en suspension rapportée comme suit :

0,0 < 1 g/l = 11 analyses soit 45,50 % du total
1 g/l < 2,0 < 4 g/l = 12 " " 27,9
4 g/l < 6,0 < 7 g/l = 12 " " 27,9
7 g/l < 8,0 < 10 g/l = 8 " " 14,0
10 g/l < 20 " 2 " " 4,6%

Total = 25 déterminations des matières en suspension.

Il n'y a aucune corrélation entre le débit et les transports solides en suspension.

Les mesures de transport solide en suspension ont été faites pendant les crues suivantes :

- crue du 17 et 18 Février 1973 = 10 mesures de MS
- " du 27 Mars 1973 = 5 " " "
- " du 23 et 24 Juin 1973 = 7 " " "
- " du 13 Avril 1973 = 4 " " "
- " du 11 Avril 1973 = 4 " " "

La concentration maximale mesurée est de 12 g/l au maximum de la crue de Février 1973.

On remarque que les plus fortes concentrations de transport solide en suspension pendant les crues se produisent souvent un peu avant le débit de pointe. Cependant le nombre très limité de crues et de mesures ne permet pas d'étayer cette affirmation d'une manière satisfaisante.

Les turbidimétries des crues indiquées ci-dessus ne peuvent pas être traitées, car durant celles-ci n'étaient sur deux à trois jours et les prélèvements sont assez espacés.

Les mesures de transport solide se font à la surface de l'eau et tout près des berges ; si on tient compte de ces deux éléments qui influent à priori un peu l'envers l'autre sur la concentration, et des résultats des analyses ; on peut dire que la concentration de 10 g/l est à prendre en compte pendant les crues.

On n'a guère d'indications sur le chargement de fond à Rarel plaine. Pour ce qui est du transport de gros matériaux on peut estimer qu'il n'est pas très important, de effet la station où on nous l'indique se trouve à la sortie d'une plaine, et la partie de l'ouest dans cette partie est très faible, la station est donc à l'abri des gros sédiments qui se déposent tout à fait au bout.

/

0,0 < 1 g/l = 11 analyses soit 45,50 % du total
1 g/l < 2,0 < 4 g/l = 12 " " 27,9
4 g/l < 6,0 < 7 g/l = 12 " " 27,9
7 g/l < 8,0 < 10 g/l = 8 " " 14,0
10 g/l < 20 " 2 " " 4,6%

Total = 25 déterminations des matières en suspension.

Il n'y a aucune corrélation entre le débit et les transports solides en suspension.

Les mesures de transport solide en suspension ont été faites pendant les crues suivantes :

- crue du 17 et 18 Février 1973 = 10 mesures de MS
- " du 27 Mars 1973 = 5 " " "
- " du 23 et 24 Juin 1973 = 7 " " "
- " du 13 Avril 1973 = 4 " " "
- " du 11 Avril 1973 = 4 " " "

La concentration maximale mesurée est de 12 g/l au maximum de la crue de Février 1973.

On remarque que les plus fortes concentrations de transport solide en suspension pendant les crues se produisent souvent un peu avant le débit de pointe. Cependant le nombre très limité de crues et de mesures ne permet pas d'étayer cette affirmation d'une manière satisfaisante.

Les turbidimétries des crues indiquées ci-dessus ne peuvent pas être traitées, ces dernières n'étalent sur deux à trois jours et les prélèvements sont assez espacés.

Les mesures de transport solide se font à la surface de l'eau et tout près des berges ; si on tient compte de ces deux éléments qui influent à priori un peu l'envers l'un de l'autre sur la concentration, et des résultats des analyses ; on peut dire que la concentration de 10 g/l est à prendre en compte pendant les crues.

On n'a guère d'indications sur le chargement de fond à Rarel plaine. Pour ce qui est du transport de gros matériaux on peut estimer qu'il n'est pas très important, le effet la station comme nous l'indique se trouve à la sortie d'une plaine, et la partie de l'ouest dans cette partie est très faible, la station est donc à l'abri des gros sédiments qui se déposent tout à fait au bout.

/

De même ce ne dépend pas que de peu d'éléments pour ce qui est du chargement
ce matériau plus fin (sable). Les mesures de fond effectuées entre des crues
enregistreront ces types topographiques n'indiquant toujours que son transporté
le moins par son plus très importante, le fond variant pour du tout types, il
est difficile d'établir l'importance de ces différents éléments (transport
de suspension et transport du fond) l'un par rapport à l'autre.

12.- Tableaux des données publiées

On trouve ci-après les tableaux annuels des données de la période étudiée (1965-1975).

Ils comportent les débits moyens journaliers, le débit saisonnier annuel, les apports totaux, les apports de crues et les apports de basses eaux.

Ces tableaux ont été établis à partir des documents officiels archivés au Service Hydrologique de la R.H.R., détaillés selon les méthodes indiquées dans cette étude.

TUNISIE

BASSIN PEJERDA FARAI

CODE FARAI

STATION FARAI PLAINE

CODE MECANO 46501160

CODE N.I.B.H NF133

NO CATALOGUE 29771

LATITUDE 40 GR. 54 20 NORD
LONGITUDE 6 GR. 09 0 EST
ALTITUDE 175 M.

MISE EN SERVICE 1952

SUPERFICIE DU B.V 370.00 KM2.

TABLEAUX HYDROGÉOMÉTRIQUES ANNUELS

FOITÉS LE 27/11/75

27/11/75

TUNISIE - OUED KATAI

STATION KARAI PLAGE

CODE FEGCNE 48501163
CODE RIFR 45232

1970-1974

372

ANNÉE HYDROLOGIQUE 1969-1970

DEBITS MOYENS JOURNÉE-S TOTAL X 10^4 M³/S EN M³/S

SEPT OCTO NOV DÉCE JANV FEV MARS AVRIL MAI JUIN JUIL

1	0.893	0.215	0.272	0.153	4.03	8.13	9.43	0.890	1.73	4.185	0.153
2	0.891	0.189	0.255	1.47	3.45	8.42	8.45	0.880	2.37	4.183	0.153
3	0.933	0.212	0.222	0.171	3.54	7.32	8.13	0.923	2.19	4.176	0.153
4	0.911	0.150	0.214	7.34	1.74	1.43	14.3	0.783	2.13	4.169	0.153
5	0.920	0.137	0.182	4.86	2.05	1.46	11.5	0.732	2.03	4.163	0.153
6	0.931	0.125	0.166	3.54	2.31	1.28	8.55	0.730	2.00	4.162	0.153
7	0.940	0.115	0.182	0.150	1.52	0.10	6.44	0.670	2.00	4.162	0.153
8	0.950	0.115	0.162	0.840	1.28	0.74	4.86	0.660	0.803	4.159	0.153
9	0.960	0.115	0.166	2.28	1.11	0.254	3.04	0.623	0.224	4.156	0.153
10	0.971	0.150	0.166	0.214	1.13	0.120	3.34	0.624	0.350	4.156	0.153
11	0.980	0.246	0.166	0.150	0.240	0.705	3.34	0.83	0.293	4.155	0.153
12	0.100	0.247	0.166	0.182	0.800	0.783	3.34	3.85	0.387	4.155	0.153
13	0.101	0.231	0.166	0.190	0.564	0.624	2.16	1.46	0.277	4.155	0.153
14	0.102	0.174	0.166	0.166	0.64	0.465	2.58	1.31	0.265	4.155	0.153
15	0.103	0.214	0.162	0.150	1.13	0.365	2.73	1.33	0.265	4.155	0.153
16	0.104	3.24	0.182	0.313	2.58	0.364	0.81	1.22	0.264	4.154	0.153
17	0.105	0.297	0.162	2.37	2.69	0.361	13.1	0.81	0.264	4.154	0.153
18	0.107	0.216	0.162	2.37	3.64	0.363	21.3	0.544	0.274	4.154	0.153
19	0.110	0.198	0.162	46.0	4.16	0.705	10.1	0.382	1.19	4.154	0.145
20	0.111	0.185	0.162	80.3	2.85	1.64	6.55	0.348	0.709	0.153	0.144
21	0.113	0.164	0.166	78.1	2.46	0.363	6.86	0.362	0.263	0.153	0.144
22	0.115	3.54	0.166	42.5	1.19	0.362	6.62	0.560	0.313	0.153	0.143
23	0.118	3.75	0.166	34.6	1.46	0.365	6.62	0.621	0.246	0.153	0.142
24	0.120	0.382	0.150	37.6	1.05	0.365	6.62	0.803	0.225	0.152	0.141
25	0.123	4.46	0.150	108	0.667	0.365	6.38	1.58	0.205	0.152	0.140
26	0.125	1.86	0.162	13.6	0.544	0.705	6.15	0.803	0.195	0.151	0.140
27	7.50	0.712	0.230	5.92	0.469	3.98	5.92	0.709	0.184	0.151	0.140
28	1.42	0.374	0.313	4.71	0.469	11.0	5.02	0.800	0.184	0.150	0.140
29	0.322	0.627	0.800	3.75	0.262		5.02	1.46	0.800	0.150	0.140
30	0.255	0.348	0.396	3.34	0.400		2.98	1.33	1.86	0.150	0.140
31		0.271		3.95	0.795		0.824		0.198		0.140

MOY 0.406 0.753 0.233 16.3 1.76 1.77 7.52 1.05 0.626 0.158 0.150 M³/STOT 1.05 2.07 0.603 43.8 4.70 4.27 26.1 2.72 2.21 0.408 0.401 MILLIONS DE M³CRUE MAXI OBSERVEE 373 M³/S EN DECEMBREDEBIT MOYEN ANNUEL 2.02 M³/SAPPORT TOTAL ANNUEL 82.7 MILLIONS DE M³

LAME D'EAU ECOULEE 224 MM

APPORTS DE CRUE 46.4 MILLIONS DE M³APPORTS DE BASE 36.3 MILLIONS DE M³

27/11/75

TUNISIE - DÉPT HAOUA

CODE PECARD 46511160
CODE FISH : ME123

STATION RABBI PLAINE

SUPERFACE DE BASSET 370,00 HECT.

ANNÉE HYDROLOGIQUE 1970-1971

DEBITS MOYENS JOURNAUX ET TOTALS ECOUS EN M3/S

	SEPT	OCTOBRE	NOV	DÉCE	JANV	FÉV	MARS	AVRIL	MAI	JUIN	JUIL	AOUT
1	0.0904	0.132	0.145	0.146	0.280	0.355	7.35	3.15	0.435	0.35	0.190	0.130
2	0.0925	0.132	0.145	0.166	0.280	0.325	7.31	4.15	0.440	0.29	0.160	0.120
3	0.0932	0.132	0.145	0.145	0.280	0.281	8.75	16.7	0.440	0.23	0.195	0.120
4	0.0943	0.132	0.145	0.145	0.290	1.43	6.85	3.35	0.291	0.23	0.184	0.120
5	0.0952	0.132	0.145	0.145	0.200	2.65	6.75	2.92	0.469	0.23	0.194	0.120
6	0.0962	0.132	0.145	0.145	0.200	2.47	2.52	1.46	0.450	0.23	0.193	0.120
7	0.0973	0.141	0.145	0.145	0.211	3.84	2.81	1.22	0.374	0.203	0.192	0.120
8	0.0981	0.142	0.145	0.165	0.215	1.42	8.35	1.10	0.349	0.203	0.191	0.120
9	0.1002	0.142	0.145	0.142	0.214	0.54	0.53	0.35	0.334	0.203	0.191	0.120
10	0.1011	0.142	0.145	0.141	0.211	2.55	0.71	2.37	1.15	0.33	0.23	0.191
11	0.1022	0.142	0.145	0.141	0.211	1.93	0.51	2.69	6.53	0.520	0.293	0.191
12	0.1033	0.151	0.145	0.145	0.215	1.86	1.45	2.14	15.7	1.76	0.203	0.191
13	0.1055	0.151	0.145	0.140	0.218	0.31	2.67	7.84	0.255	0.231	0.191	0.120
14	0.1066	0.152	0.145	0.139	0.216	0.27	1.71	1.47	0.384	0.203	0.191	0.120
15	0.1088	0.151	0.145	0.139	0.204	0.24	1.53	4.16	0.374	0.203	0.191	0.120
16	0.1113	0.151	0.145	0.138	0.217	1.71	4.22	3.64	0.281	0.203	0.192	0.120
17	0.1122	0.152	0.145	0.137	0.18	1.51	3.11	3.04	0.28	0.27	0.192	0.120
18	0.1133	0.151	0.145	0.136	0.20	1.25	4.21	2.28	0.275	0.203	0.192	0.120
19	0.1144	0.151	0.145	0.135	0.205	1.12	1.01	1.93	0.260	0.200	0.192	0.120
20	0.1155	0.152	0.146	0.241	0.13	23.0	0.712	1.72	0.240	0.203	0.192	0.120
21	0.1177	0.152	0.146	0.280	0.13	7.55	0.835	1.49	0.230	0.200	0.192	0.120
22	0.1200	0.156	0.146	11.9	10.9	1.31	0.935	1.28	0.226	0.199	0.192	0.135
23	0.1211	0.160	0.146	18.2	9.12	24.7	2.80	1.22	0.216	0.199	0.192	0.140
24	0.1222	0.155	0.146	8.95	8.72	42.1	2.61	1.22	0.206	0.199	0.192	0.140
25	0.1233	0.152	0.146	1.19	5.92	15.9	1.22	0.648	0.200	0.198	0.192	0.145
26	0.1244	0.151	0.146	5.256	5.35	12.5	1.11	0.248	0.200	0.198	0.192	0.157
27	0.1255	0.145	0.146	0.280	3.85	0.483	1.86	0.800	0.200	0.197	0.192	0.164
28	0.1277	0.142	0.146	0.280	3.44	0.483	1.53	0.284	0.299	0.197	0.192	0.170
29	0.1290	0.147	0.146	0.280	2.65		17.6	0.544	0.200	0.196	0.197	0.175
30	0.1311	0.146	0.146	0.280	2.19		13.7	0.469	0.200	0.196	0.192	0.181
31		0.145		0.280	1.86		8.23		0.166		0.192	0.192
DET	0.110	0.217	0.145	1.17	6.21	5.51	4.95	8.89	0.373	0.199	0.192	0.163
TOT	0.284	0.568	0.377	3.12	17.1	13.2	13.3	23.0	0.498	0.517	0.515	0.496
(MILLIONS DE M3)												

CRUE MAXI OBSERVEE 145 M3/S EN AVRIL

DEBIT MOYEN ANNUEL 2.33 M3/S

APPORT TOTAL ANNUEL 73.5 MILLIONS DE M3

LAKE D'EAU ECOULEE 155 MM

APPORTS DE CRUE 52.2 MILLIONS DE M3

APPORTS DE BASE 21.3 MILLIONS DE M3

27/11/75

TUNISIE - GUEL BAHAI

STATION BAHAI PERINE

CODE REGISTRE 46501160
CODE EHE 87129

SUITE 1971-1972

ANNEE HYDROLOGIQUE 1971-1972

CREDITS MOYENS JOURNAUX TOTALS EN MILLIONS DE P31

	SEPT	OCTO	NOV	DÉCE	JANV	FÉV	MARS	AVRIL	MAY	JUIN	JUIL	AUG	SEP
1	-0.214	0.246	-0.158	0.290	-0.234	0.207	2.15	2.53	0.23	-0.15	0.111	-0.27	
2	0.215	0.555	0.155	0.394	0.207	0.284	2.55	1.49	0.25	-0.15	0.112	-0.27	
3	0.221	1.5	-0.157	0.326	-0.260	0.281	2.26	1.79	0.22	-0.12	0.113	-0.27	
4	0.231	0.251	1.156	0.249	0.259	0.282	5.15	0.247	0.25	0.163	0.113	-0.219	
5	-0.295	0.246	-0.157	0.359	0.210	0.271	3.18	1.774	0.22	-0.17	0.122	-0.217	
6	-0.230	0.243	0.161	0.290	0.211	0.271	7.01	0.262	0.15	0.155	0.211	0.211	
7	0.227	0.435	0.161	0.291	0.212	0.271	4.52	0.31	0.27	0.176	0.222	0.213	
8	0.219	0.386	0.165	0.270	0.213	0.271	2.14	0.257	0.22	0.177	0.224	0.213	
9	0.210	0.325	0.169	0.270	0.215	0.271	2.23	0.294	0.249	0.179	0.226	0.213	
10	0.200	0.322	0.171	0.266	0.216	0.271	1.52	0.225	0.229	0.169	0.224	0.203	
11	0.195	0.265	0.172	0.270	0.208	0.271	10.4	0.32	0.21	0.212	0.230	0.198	
12	0.188	0.245	0.175	0.263	0.217	0.271	6.17	0.27	0.21	0.212	0.231	0.192	
13	0.182	0.255	0.182	0.280	0.216	0.271	2.62	0.31	0.21	0.192	0.212	0.185	
14	0.177	0.262	0.184	0.270	0.218	0.271	2.32	0.29	0.21	0.193	0.231	0.185	
15	0.174	0.230	0.197	0.260	0.216	0.271	2.32	0.21	0.21	0.186	0.231	0.183	
16	0.170	0.225	0.192	0.245	0.210	0.271	2.37	0.21	0.21	0.186	0.231	0.178	
17	0.163	0.218	0.158	0.220	0.210	0.271	3.41	0.27	0.21	0.181	0.212	0.175	
18	0.160	0.216	0.200	0.212	0.206	0.271	5.04	0.282	0.21	0.183	0.211	0.172	
19	0.158	0.209	0.206	0.209	22.5	0.27	3.58	0.15	0.370	0.192	0.233	0.167	
20	0.155	0.206	0.212	0.212	25.0	0.272	2.16	4.16	0.295	0.194	0.253	0.165	
21	0.153	0.195	0.220	0.212	3.52	0.274	0.548	3.54	0.242	0.192	0.343	0.158	
22	0.152	0.195	0.224	0.232	2.68	0.272	0.626	2.50	0.215	0.195	0.333	0.155	
23	0.151	0.185	0.230	0.223	10.1	1.40	0.544	1.79	0.205	0.196	0.323	0.152	
24	0.150	0.182	0.240	0.233	31.9	1.36	0.465	1.56	0.195	0.198	0.313	0.148	
25	0.150	0.178	0.242	0.233	13.0	2.34	0.465	1.60	0.190	0.203	0.303	0.147	
26	0.150	0.174	0.250	0.234	15.3	17.2	0.465	1.28	0.170	0.202	0.303	0.145	
27	0.153	0.176	0.255	0.235	23.7	5.81	0.400	1.16	0.165	0.203	0.293	0.140	
28	0.155	0.177	0.265	0.235	26.2	3.56	0.400	26.9	0.160	0.204	0.283	0.138	
29	0.172	0.165	0.270	0.235	10.6	2.15	0.400	7.75	0.155	0.205	0.227	0.135	
30	0.190	0.162	0.280	0.205	3.85	0.400	0.04	0.352	0.207	0.225	0.132		
31	0.160		5.205	1.93		6.73		0.150		0.223	0.130		

MOY 0.182 0.281 0.250 0.325 6.54 3.84 3.65 0.42 3.00 0.183 0.164 0.177
 1RS/53
 TOT 0.476 0.352 0.518 0.471 17.5 5.82 5.26 21.8 6.05 0.475 0.440 0.474
 MILLIONS DE P31

CRUE MAXI OBSERVEE 139 P31 EN AVRIL

DEBIT MOYEN ANNUEL 2.16 P31

APPORT TOTAL ANNUEL 69.2 MILLIONS DE P31

LARGE D'EAU ECOULEE 167 M

APPORTS DE CRUES 38.6 MILLIONS DE P31

APPORTS DE BASES 30.6 MILLIONS DE P31

27711778

TUNISIE - 1970 - 1971

STATISTIQUE ANNUELLE

CODE PROVINCE: 40000
CODE RIVIERE: 40000

MONTANT EN MILLIONS DE M3

ANNÉE HYDROLOGIQUE 1970-1971

DEBITS MOYENS ANNUELS TOTALS RIVIÈRE EN M3/S

SEPT OCT NOV DÉC JANV FÉV MAR APRIL MAI JUIN JUIL

1	0.190	0.186	0.130	0.147	0.182	0.234	0.217	0.234	0.231	0.232	0.231
2	0.192	0.171	0.120	0.155	0.166	0.211	0.211	0.234	0.215	0.215	0.215
3	0.203	0.181	0.113	0.162	0.165	0.218	0.212	0.234	0.210	0.210	0.210
4	0.215	0.182	0.128	0.170	0.183	0.215	0.215	0.234	0.215	0.215	0.215
5	0.23	0.187	0.136	0.180	0.185	0.214	0.214	0.234	0.215	0.215	0.215
6	0.226	0.180	0.150	0.190	0.195	0.211	0.215	0.234	0.215	0.215	0.215
7	0.224	0.192	0.167	0.200	0.205	0.211	0.215	0.234	0.215	0.215	0.215
8	0.215	0.192	0.162	0.192	0.195	0.211	0.215	0.234	0.215	0.215	0.215
9	0.210	0.195	0.167	0.205	0.205	0.211	0.215	0.234	0.215	0.215	0.215
10	0.207	0.205	0.171	0.205	0.210	0.214	0.214	0.234	0.215	0.215	0.215
11	0.198	0.203	0.172	0.213	0.205	0.217	0.217	0.234	0.215	0.215	0.215
12	0.194	0.204	0.173	0.209	0.205	0.217	0.217	0.234	0.215	0.215	0.215
13	0.198	0.211	0.174	0.207	0.205	0.217	0.217	0.234	0.215	0.215	0.215
14	0.182	0.211	0.175	0.205	0.205	0.217	0.217	0.234	0.215	0.215	0.215
15	0.180	0.220	0.185	0.195	0.205	0.215	0.215	0.234	0.215	0.215	0.215
16	0.176	0.222	0.176	0.175	0.185	0.215	0.215	0.234	0.215	0.215	0.215
17	0.175	0.225	0.167	0.175	0.185	0.215	0.215	0.234	0.215	0.215	0.215
18	0.172	0.224	0.168	0.170	0.180	0.215	0.215	0.234	0.215	0.215	0.215
19	0.170	0.17	0.116	0.115	0.140	0.212	0.217	0.234	0.215	0.215	0.215
20	0.170	0.231	0.111	0.112	0.125	0.213	0.215	0.234	0.215	0.215	0.215
21	0.169	0.226	0.112	0.107	0.122	0.213	0.215	0.234	0.215	0.215	0.215
22	0.169	0.230	0.115	0.105	0.125	0.213	0.215	0.234	0.215	0.215	0.215
23	0.168	0.231	0.116	0.104	0.121	0.211	0.215	0.234	0.215	0.215	0.215
24	0.168	0.231	0.120	0.103	0.121	0.211	0.215	0.234	0.215	0.215	0.215
25	0.168	0.225	0.122	0.105	0.127	0.214	0.212	0.234	0.215	0.215	0.215
26	0.165	0.225	0.127	0.0990	0.101	0.211	0.211	0.234	0.215	0.215	0.215
27	0.170	0.200	0.136	0.0980	0.105	0.211	0.211	0.234	0.215	0.215	0.215
28	0.171	0.190	0.134	0.0970	0.109	0.211	0.211	0.234	0.215	0.215	0.215
29	0.173	0.169	0.138	0.0970	0.127		0.211	0.211	0.234	0.215	0.215
30	0.174	0.150	0.143	0.0970	0.146		0.211	0.211	0.234	0.215	0.215
31	0.146		0.146		0.147		0.214		0.243		0.235

Moy Crue: 0.202 0.112 0.151 13.6 5.07 33.2 5.25 0.267 0.368 0.329 0.260
 (M3/S)
 Tot 0.483 0.541 0.293 0.493 31.8 14.5 88.9 12.6 2.59 0.797 0.881 0.697
 (MILLIONS DE M3)

CRUE MAXI OBSERVÉE 830 M3/S EN MARS

DÉBIT MOYEN ANNUEL 4.93 M3/S

APPORT TOTAL ANNUEL 155 MILLIONS DE M3

LARGE D'EAU ECOULEE 420 M

APPORTE DE CRUE 102.5 MILLIONS DE M3

APPORTE DE BASE 52.5 MILLIONS DE M3

27/11/75

TUNISIE - LAKE OF CHIBI

LAUDE POUR LA PLATE

CODE RECHERCHÉ 40501166

CODE PIRE 301133

SUPERFICIE EN KM²

312,000 KM²

ANNÉE HYDROLOGIQUE 1973-1974

DEBITS MOYENS JOURNALIERS TOTALS (EN M³/S) EN PIRE

SEPT OCT NOV DÉC JANV FÉV MAR APRIL MAI JUIN JUIL AOUT SEPT

1	0.230	0.223	0.240	0.280	0.275	0.211	1.087	0.200	0.170	0.192	0.192	0.170
2	0.231	0.233	0.242	0.281	0.275	0.211	1.087	0.211	0.171	0.183	0.193	0.171
3	0.232	0.234	0.243	0.282	0.276	0.212	1.087	0.223	0.172	0.185	0.194	0.172
4	0.233	0.235	0.244	0.283	0.277	0.213	1.087	0.235	0.173	0.187	0.195	0.173
5	0.234	0.236	0.245	0.284	0.278	0.214	1.087	0.246	0.174	0.177	0.186	0.174
6	0.235	0.237	0.246	0.285	0.279	0.215	1.087	0.256	0.175	0.178	0.177	0.175
7	0.236	0.238	0.247	0.286	0.280	0.216	1.087	0.267	0.176	0.180	0.179	0.176
8	0.237	0.239	0.248	0.287	0.281	0.217	1.087	0.278	0.177	0.182	0.180	0.177
9	0.238	0.240	0.249	0.288	0.282	0.218	1.087	0.289	0.178	0.184	0.179	0.178
10	0.239	0.241	0.250	0.289	0.283	0.219	1.087	0.299	0.179	0.185	0.179	0.179
11	0.240	0.242	0.251	0.290	0.284	0.220	1.087	0.310	0.180	0.187	0.180	0.180
12	0.241	0.243	0.252	0.291	0.285	0.221	1.087	0.321	0.181	0.188	0.183	0.181
13	0.242	0.244	0.253	0.292	0.286	0.222	1.087	0.332	0.182	0.190	0.187	0.182
14	0.243	0.245	0.254	0.293	0.287	0.223	1.087	0.343	0.183	0.192	0.188	0.183
15	0.244	0.246	0.255	0.294	0.288	0.224	1.087	0.353	0.184	0.193	0.189	0.184
16	0.245	0.247	0.256	0.295	0.289	0.225	1.087	0.364	0.185	0.194	0.190	0.185
17	0.246	0.248	0.257	0.296	0.290	0.226	1.087	0.375	0.186	0.195	0.191	0.186
18	0.247	0.249	0.258	0.297	0.291	0.227	1.087	0.385	0.187	0.196	0.192	0.187
19	0.248	0.250	0.259	0.298	0.292	0.228	1.087	0.396	0.188	0.197	0.193	0.188
20	0.249	0.251	0.260	0.299	0.293	0.229	1.087	0.406	0.189	0.198	0.194	0.189
21	0.250	0.252	0.261	0.300	0.294	0.230	1.087	0.417	0.190	0.199	0.195	0.190
22	0.251	0.253	0.262	0.301	0.295	0.231	1.087	0.428	0.191	0.200	0.196	0.191
23	0.252	0.254	0.263	0.302	0.296	0.232	1.087	0.438	0.192	0.198	0.197	0.192
24	0.253	0.255	0.264	0.303	0.297	0.233	1.087	0.449	0.193	0.199	0.198	0.193
25	0.254	0.256	0.265	0.304	0.298	0.234	1.087	0.459	0.194	0.200	0.199	0.194
26	0.255	0.257	0.266	0.305	0.299	0.235	1.087	0.469	0.195	0.199	0.199	0.195
27	0.256	0.258	0.267	0.306	0.300	0.236	1.087	0.479	0.196	0.200	0.199	0.196
28	0.257	0.259	0.268	0.307	0.301	0.237	1.087	0.489	0.197	0.200	0.199	0.197
29	0.258	0.260	0.269	0.308	0.302	0.238	1.087	0.499	0.198	0.199	0.199	0.198
30	0.259	0.260	0.270	0.309	0.303	0.239	1.087	0.509	0.199	0.199	0.199	0.199
31	0.260	0.261	0.271	0.310	0.304	0.240	1.087	0.519	0.200	0.199	0.199	0.199

MOY DEZ 0.542 0.295 0.775 0.303 2.73 2.46 3.91 0.539 0.198 0.163 0.149
1973/74TOT 0.596 1.45 0.675 2.08 0.812 6.55 0.45 10.1 1.244 0.514 0.437 0.423
MILLIONS DE M³

CRUE MAX OBSERVEE 23.7 M³/S EN AVRIL

DEBIT MOYEN ANNUEL 1.66 M³/S

APPORTE TOTAL ANNUEL 33.5 MILLION DE M³

LARGE D'EAU ECOUTEE 51 MM

APPORTE DE CRUE 16.3 MILLIONS DE M³

APPORTE DE BASE 23.2 MILLIONS DE M³

27/11/75

STATION BARAI PLATEAU

TUNISIE. 700000000

CODE RECANC 43501160

CODE DIFM 116133

SUPERFICIE DU BASSET 372400 KMS.

ANNÉE HYDROLOGIQUE 1974-1975

DEBITS MEYENS JOURNAIERS TOTAUX TORRETS EN M3/S

	SEPT	OCT	NOV	DÉCE	JANV	FÉV	MARS	AVR	MAY	JUIN	JUIL	AOÛT
1	0.175	0.194	0.21	0.228	0.310	0.312	1.46	3.56	0.12	0.19	0.189	0.11
2	0.169	0.196	0.219	0.222	0.292	0.312	1.16	7.35	0.294	0.198	0.168	0.11
3	0.163	0.177	0.205	0.212	0.282	0.312	0.80	3.25	0.28	0.187	0.157	0.11
4	0.162	0.194	0.219	0.225	0.275	0.321	0.624	1.92	0.24	0.185	0.139	0.11
5	0.156	0.157	0.237	0.221	0.265	0.348	0.468	1.27	0.24	0.164	0.173	0.112
6	0.152	0.161	0.216	0.205	0.263	0.331	0.224	0.597	0.239	0.164	0.153	0.113
7	0.151	0.191	0.256	0.196	0.266	0.312	0.465	0.597	0.235	0.183	0.169	0.129
8	0.148	0.194	0.212	0.225	0.280	0.312	0.465	0.587	0.230	0.162	0.163	0.118
9	0.145	0.193	0.205	0.212	0.285	0.312	0.455	0.646	0.226	0.163	0.163	0.114
10	0.143	0.192	0.202	0.248	0.242	0.212	2.46	0.596	0.223	0.163	0.155	0.113
11	0.142	0.194	0.24	0.202	0.236	0.312	1.7	0.694	0.224	0.164	0.152	0.113
12	0.140	0.192	0.20	0.202	0.232	0.212	0.402	0.62	0.22	0.165	0.154	0.114
13	0.132	0.151	0.195	0.255	0.232	0.212	0.715	0.61	0.21	0.161	0.146	0.113
14	0.132	0.150	0.168	0.211	0.218	0.231	0.624	0.624	0.216	0.183	0.161	0.114
15	0.14	0.185	0.26	0.2	0.220	0.248	0.455	0.469	0.20	0.180	0.149	0.114
16	0.142	0.181	0.250	0.23	0.219	0.261	0.382	0.432	0.194	0.179	0.128	0.113
17	0.145	0.184	0.215	0.26	0.212	0.23	0.346	0.412	0.187	0.179	0.138	0.114
18	0.146	0.187	0.196	0.297	0.215	0.21	0.348	0.380	0.193	0.182	0.134	0.113
19	0.148	0.185	0.188	0.212	0.215	0.21	0.346	0.365	0.195	0.180	0.132	0.113
20	0.15	0.182	0.186	0.250	0.21	0.21	0.313	0.351	0.251	0.183	0.131	0.115
21	0.153	0.162	0.174	0.610	0.447	0.45	0.330	0.335	0.243	0.180	0.128	0.118
22	0.155	0.182	0.168	0.550	0.21	0.21	0.37	0.323	0.232	0.180	0.129	0.103
23	0.162	0.181	0.161	0.560	1.10	1.05	0.55	0.310	0.225	0.183	0.131	0.162
24	0.162	0.180	0.160	0.470	0.800	1.05	10.6	0.300	0.221	0.183	0.130	0.163
25	0.163	0.181	0.600	0.440	0.624	1.36	0.55	0.295	0.215	0.180	0.130	0.165
26	0.166	0.175	0.800	0.415	0.544	1.26	2.00	0.285	0.212	0.180	0.131	0.166
27	0.170	0.176	0.800	0.390	0.466	1.30	1.10	0.280	0.268	0.180	0.131	0.170
28	0.173	0.178	0.296	0.370	0.382	1.22	1.46	0.271	0.205	0.181	0.132	0.171
29	0.175	0.177	0.270	0.350	0.348		1.33	0.265	0.200	0.182	0.132	0.172
30	0.180	0.178	0.250	0.330	0.313		1.22	0.261	0.198	0.183	0.132	0.173
31		0.246		0.320	0.313		0.997		0.195		0.133	0.189

MOY 0.155 0.185 1.2 1.30 0.893 1.05 1.62 1.01 0.560 0.182 0.147 0.152
1M3/STOT 0.462 0.558 4.68 3.49 2.31 18.4 4.37 2.63 1.50 0.471 0.394 0.437
(MILLIONS DE M3)

CRUE MAXI OBSERVEE 247 M3/S EN FÉVRIER

DEBIT MOYEN ANNUEL 1.25 M3/S

APPORTE TOTAL ANNUEL 39.5 MILLION DE M3

LOME D'EAU ECOULEE 107 MM

APPORTE DE CRUE 25.9 MILLION DE M3

APPORTE DE BASE 13.6 MILLION DE M3

FIN

47

VUES

FIN

47

VUES